

Міністерство освіти і науки України
Харківський національний університет радіоелектроніки

Факультет Інформаційно-аналітичних технологій та менеджменту
(повна назва)

Кафедра Інформатики
(повна назва)

КВАЛІФІКАЦІЙНА РОБОТА
Пояснювальна записка

рівень вищої освіти перший (бакалаврський)

ПРОГРАМНЕ МОДЕЛЮВАННЯ КЛАСИФІКАТОРА ЗОБРАЖЕНЬ НА
БАЗІ КРИТЕРІЇВ УНІКАЛЬНОСТІ ТА ІНФОРМАТИВНОСТІ ДЛЯ
СТРУКТУРНИХ ОЗНАК
(тема)

Виконав:
студент 4 курсу, групи ІТІНФ-19-1

Шевляков А.С.
(прізвище, ініціали)

Спеціальності 122 Комп'ютерні науки
(код і повна назва спеціальності)

Тип програми освітньо-професійна

Освітня програма Інформатика
(повна назва освітньої програми)

Керівник проф. Гороховатський В.О.
(посада, прізвище, ініціали)

Допускається до захисту

Зав. кафедри _____
(підпис)

Кобилін О.А.
(прізвище, ініціали)

2023 р.

Харківський національний університет радіоелектроніки

Факультет Інформаційно-аналітичних технологій та менеджменту
(повна назва)Кафедра Інформатики
(повна назва)Рівень вищої освіти перший (бакалаврський)Спеціальність 122 Комп'ютерні науки
(код і повна назва)Тип програми освітньо-професійнаОсвітня програма Інформатика
(повна назва освітньої програми)

ЗАТВЕРДЖУЮ:

Зав. кафедри _____
(підпис)

«____» _____ 2023 р.

ЗАВДАННЯ
НА КВАЛІФІКАЦІЙНУ РОБОТУстудентові Шевлякову Артему Сергійовичу
(прізвище, ім'я, по батькові)1. Тема роботи Програмне моделювання класифікатора зображень на базі критеріїв унікальності та інформативності для структурних ознак

затверджена наказом університету від 15 травня 2023 року № 474 Ст

2. Термін подання студентом роботи до екзаменаційної комісії 29 травня 2023 р.

3. Вихідні дані до роботи науково-методична та науково-технічна література з комп'ютерного зору, матеріали конференцій, дані інтернет-мережі, бібліотека комп'ютерного зору OpenCV, середовище розробки Visual Studio Code, мова програмування C#, NuGet package Emgu.CV.

4. Перелік питань, що потрібно опрацювати в роботі _____

1. Огляд методів ознакового опису зображень.2. Реалізація алгоритму класифікації зображень, який використовуватиме критерії унікальності та інформативності.3. Створення програмного коду для формування редукованого опису і класифікації у базі зображень із застосуванням методу BRISK.4. Тестування роботи програми з використанням кольорових зображень NFT-персонажів розміром 420×420 пікселів.5. Оцінка ефективності розробленого методу класифікації зображень.

5. Перелік графічного матеріалу із зазначенням креслеників, схем, плакатів, комп'ютерних ілюстрацій (п.5 включається до завдання за рішенням випускової кафедри) Актуальність проблеми класифікації зображень, постановка задачі, математичні моделі, тестові зображення, результати експериментів.

6. Консультанти розділів роботи (п.6 включається до завдання за наявності консультантів згідно з наказом, зазначеним у п.1)

Найменування розділу	Консультант (посада, прізвище, ім'я, по батькові)	Позначка консультанта про виконання розділу	
		підпис	дата
Консультант з дотримання діючих стандартів та норм	Доцент Творошенко І.С.		

КАЛЕНДАРНИЙ ПЛАН

№ з/п	Назва етапів роботи	Терміни виконання етапів роботи	Примітка
1	Отримання завдання на кваліфікаційну роботу	10.04.2023	
2	Аналіз завдання, підбір літератури	11.04.23-15.04.23	
3	Аналіз літератури з досліджуваної проблеми	16.04.23-19.04.23	
4	Аналіз методів опису зображень	20.04.23-27.04.23	
5	Розробка алгоритму класифікації зображень, на базі критерії унікальності та інформативності.	28.04.23-12.05.23	
6	Програмна реалізація	13.05.23-21.05.23	
7	Оформлення пояснювальної записки	22.05.23-26.05.23	
8	Перевірка на плагіат	27.05.23	
9	Рецензування	28.05.23	
10	Підготовка презентації та доповіді	29.05.23-30.05.23	
11	Занесення роботи в електронний архів	31.05.23	
12	Попередній захист кваліфікаційної роботи	07.06.23	

Дата видачі завдання 10 квітня 2023 р.

Студент _____
(підпис)

Керівник роботи _____ проф. Гороховатський В.О.
(підпис) (посада, прізвище, ініціали)

РЕФЕРАТ/ABSTRACT

Пояснювальна записка до кваліфікаційної роботи: 66 с., 3 табл., 16 рис., 46 джерел.

КЛЮЧОВА ТОЧКА, ДЕСКРИПТОР, ДЕТЕКТОР BRISK, ГЕММІНГОВА ВІДСТАНЬ, ІНФОРМАТИВНІСТЬ.

Об'єтом роботи є методи класифікації зображень з відбором за критеріями унікальності та інформативності структурних ознак.

Метою роботи є створення класифікатора для вирішення проблеми швидкого віднесення зображень до класів та їх розпізнавання у системах комп'ютерного зору. За допомогою відбору частини дескрипторів за показниками інформативності та унікальності класифікатор забезпечує швидку та точну класифікацію зображень у реальному часі.

Застосовано методи класифікації зображень на підставі опису як множини дескрипторів ключових точок. Відстань Геммінга була використана при порівнянні двох бінарних рядків, а саме бінарних дескриптори ключових точок при зіставленні зображень.

Проведено програмне моделювання класифікатора за результатом відбору підмножини інформативних ознак. Результати моделювання на навчальній множині описів зображень підтверджують ефективність розроблених методів класифікації та забезпечують достатній рівень точності.

KEYPOINT, DESCRIPTOR, DETECTOR BRISK, HEMMING DISTANCE, INFORMATIVENESS

The object of the work is image classification methods with selection based on the criteria of uniqueness and informativeness of structural features.

The aim of the work is to create a classifier to solve the problem of quickly assigning images to classes and their recognition in computer vision systems. Using the selection of a part of the descriptors according to the indicators of informativeness and uniqueness, the classifier provides fast and accurate classification of images in real time.

Image classification methods based on the description of a set of descriptors of key points are applied. The Hamming distance was used when comparing two binary strings, namely binary descriptors of key points when matching images.

Software modeling of the classifier based on the selection of a subset of informative features was carried out. The simulation results on the training set of image descriptions confirm the effectiveness of the developed classification methods and provide a sufficient level of accuracy.

ЗМІСТ

Перелік умовних позначень, символів, одиниць, скорочень і термінів	6
Вступ.....	7
1 Аналіз структурних методів розпізнавання зображень	9
1.1 Визначення і основні властивості ключових ознак зображення ...	10
1.2 Методи формування ключових точок.....	12
1.3 Способи зіставлення структурних описів	18
1.4 Постановка задачі	22
2 Класифікація зображень з використанням критеріїв унікальності та інформативності	23
2.1 Огляд сучасних моделей класифікації.....	23
2.2 Застосування параметрів унікальності та інформативності.....	34
2.3 Застосування голосування у структурних методах.....	40
3 Програмне моделювання класифікатора зображень	43
3.1 Обґрунтування вибору середовища програмної реалізації	43
3.2 Особливості програмної реалізації	50
3.3 Інструкція користувача	57
3.4 Аналіз експериментальних результатів.....	58
Висновки	61
Перелік джерел посилання	62

ПЕРЕЛІК УМОВНИХ ПОЗНАЧЕНЬ, СИМВОЛІВ, ОДИНИЦЬ, СКОРОЧЕНЬ І ТЕРМІНІВ

КЗ – комп'ютерний зір

КТ – ключові точки

ХО – характерні ознаки

МВ – манхеттенська відстань

МХ – метрика Хемінга

SIFT – Scale-Invariant Feature Transform (масштабно-інваріантне перетворення ознак)

SURF – Speeded Up Robust Features (прискорені стійкі ознаки)

FAST – Features from Accelerated Segment Test (ознаки тестування прискореного сегмента)

BRIEF – Binary Robust Independent Elementary Features (короткі двійкові надійні незалежні елементарні ознаки)

BRISK – Binary Robust Invariant Scalable Keypoints (двійкові надійні інваріантні масштабовані ключові точки)

ORB – Oriented FAST and Rotated BRIEF (орієнтований FAST і обернутий BRIEF)

VSC – Visual Studio Code

Open CV – Open Source Computer Vision Library (бібліотека комп'ютерного зору з відкритим кодом)

НМ – нейронна мережа

ПЗ – порівняння із зразком

НМ – нейронні мережі

СМ – статистичні методи

ССМ – структурні та синтаксичні методи

АДП – алгоритм динамічного програмування

СР – синтаксичне розпізнавання

КВГ – контекстно-вільна граматики

МОВ – метод опорних векторів

ВСТУП

Комп'ютерний зір (КЗ) – галузь штучного інтелекту, яка займається створенням алгоритмів та програм для оброблення, аналізу та інтерпретації зображень та відео. Головна мета КЗ полягає в тому, щоб навчити комп'ютери розпізнавати та розуміти інформацію, що міститься у зображеннях [1-12].

КЗ вирішує велику кількість завдань, що включають розпізнавання об'єктів і класифікацію, виявлення об'єктів, розпізнавання осіб, трекінг об'єктів, оптичне розпізнавання символів та ін. Ці завдання виконуються за допомогою розробки алгоритмів та програм для обробки, аналізу та розуміння зображень та відео, щоб комп'ютери могли розуміти інформацію, яка може бути вилучена із зображень.

Застосування КЗ включають діагностику та лікування захворювань, автоматичну навігацію та управління роботами, контроль якості продукції, забезпечення безпеки та ін [1, 13-15].

Обробка зображень включає використання алгоритмів і технік для поліпшення якості зображення. Межі між обробкою зображень, аналізом зображень та КЗ є відносними і можуть змінюватись в залежності від контексту. Загалом, обробка зображень фокусується на перетворенні зображень у цифровий формат та застосуванні до них операцій з поліпшення якості, видалення шуму, зміни контрасту, коригування кольорів і т.д. Аналіз зображень займається вилученням інформації із зображень та її інтерпретацією, наприклад розпізнаванням об'єктів, виявленням певних ознак або особливостей. КЗ включає розробку алгоритмів і програм, які дозволяють комп'ютерам бачити і розуміти зображення і відео, наприклад, розпізнавання образів, визначення об'єктів, трекінг руху і т.д. Хоча ці області тісно пов'язані між собою та перекриваються, вони мають свої унікальні завдання та методи вирішення.

Загалом, аналіз та розпізнавання зображень мають широкий спектр застосувань та відіграють важливу роль у багатьох сферах життя,

допомагаючи вирішувати різноманітні завдання, збільшувати ефективність та підвищувати якість життя [2, 16-18].

Класифікація зображень є автоматичним процесом визначення класу або категорії, до якої відноситься зображення, ґрунтуючись на його властивостях і змісті.

Метод класифікації зображень на основі критеріїв унікальності та інформативності для структурних ознак використовує текстури, форми та кольори, щоб автоматично визначити клас чи категорію, до якої належить зображення. Унікальність кожного класу чи компоненти опису гарантується наявністю унікальних структурних ознак, які відрізняють його від інших класів та забезпечують більш точну класифікацію. При виборі структурних ознак важлива їхня інформативність, тобто показник класифікаційної значущості для компоненти опису, який може бути використано для класифікації, щоб зменшити кількість помилок у класифікації [1, 3].

1 АНАЛІЗ СТРУКТУРНИХ МЕТОДІВ РОЗПІЗНАВАННЯ ЗОБРАЖЕНЬ

Існуючі методи розпізнавання зображень стикаються з проблемами, пов'язаними зі складністю розпізнавання об'єктів на зображеннях у реальних умовах, нестачею якісних даних для навчання алгоритмів, можливістю помилкових спрацьовувань чи перепусток та складністю адаптації алгоритмів для різних пристроїв. Також проблемами можуть виступати різноманітні візуальні спотворення через геометричні перетворення та/або інші зовнішні перешкоди [19–24].

В останні роки відбулося багато нових змін у розвитку систем розпізнавання зображень. Однією з найважливіших обставин було поява глибокого навчання і нейронних мереж (НМ), які значно підвищили точність розпізнавання і дозволили обробляти великі обсяги даних [1, 25–29].

Також відбувся значний прогрес у галузі обробки природної мови, що дозволяє системам розпізнавання зображень більш точно та ефективно інтерпретувати текстову інформацію, пов'язану із зображеннями.

Системи розпізнавання зображень стали більш широко використовуваними у різних галузях, включаючи медицину, виробництво, безпеку та багато інших. Вони використовуються для розпізнавання осіб, визначення дефектів на виробничих лініях, аналізу медичних зображень та багатьох інших завдань.

Також з'явилися нові методи, такі як генеративні адверсаріальні мережі, які можуть бути використані для створення реалістичних зображень, а також мережі, здатні адаптуватися до змін у зображеннях в реальному часі.

Існують і інші технології та тенденції, такі як автоматичне доповнення зображень, підвищення роздільної здатності зображень, розпізнавання геометричних форм та застосування систем розпізнавання зображень у поєднанні з іншими технологіями, наприклад, доповненої реальності та віртуальної реальності [30–35].

1.1 Визначення і основні властивості ключових ознак зображення

Люди зазвичай легко вирішують завдання розпізнавання підсвідомо, а створення ж систем, які б реалізовували цю задачу так ефективно, як наш мозок надзвичайно складна задача. Основна проблема полягає в тому, що часто буває важко визначити ознаки, на основі яких можна проводити розпізнавання. Однак для деяких завдань, де такі ознаки можна виділити, штучні системи розпізнавання широко застосовуються.

Характерні ознаки (ХО) – це вектори, які відповідають координатам ключових точок на зображенні та мають властивість інваріантності до геометричних перетворень об'єктів у полі зору. Деякі ознаки є природними, оскільки їх можна визначити візуальним аналізом зображення, тоді як інші, які називаються штучними ознаками, отримуються в результаті спеціальної обробки або вимірювань. Природні ознаки включають яскравість та текстуру різних областей зображення, а також форму контурів об'єктів [35–40].

Ключова точка (КТ) – точка, що знаходиться у місці значної зміни інтенсивності зображення.

Детектор – це метод або алгоритм, який перетворює об'єкт (наприклад, зображення, аудіофайл або текст) у чисельний опис, що дозволяє використовувати його для розпізнавання або порівняння з іншими об'єктами. Детектори широко застосовуються в комп'ютерному зорі, машинному навчанні та обробці сигналів. Вони можуть бути основою для створення моделей машинного навчання, таких як НМ, які використовуються для класифікації або розпізнавання образів [2, 4, 8, 41].

У процесі аналізу зображень ключові точки вилучаються із зображення за допомогою алгоритмів детектування, таких як SIFT, SURF, BRISK, ORB та ін. Далі отримані дескриптори використовуються для зіставлення та порівняння ключових точок на різних зображеннях [4–8].

Ключові точки повинні мати такі основні характеристики:

- локалізація: точне визначення положення КТ на зображенні для можливості використання їх у розпізнаванні та класифікації;
- унікальність: кожна КТ повинна мати унікальні характеристики, що відрізняють їх від інших точок на зображенні;
- інваріантність: ключові точки повинні бути стійкими до деяких перетворень зображення, таких як поворот, масштабування або зміна освітлення;
- висока роздільна здатність: ключові точки повинні мати високу роздільну здатність, щоб забезпечити точність і надійність у подальшому використанні.

Формування КТ зображення – це процес вибору певних точок на зображенні для подальшого аналізу та зіставлення з КТ інших зображень.

Процес формування множини дескрипторів КТ включає кілька етапів:

- виявлення ключових точок на зображенні: алгоритми вибирають КТ, які є яскраво вираженими чи унікальними на зображенні;
- локалізація КТ: визначаються координати кожного обраного КТ на зображенні;
- обчислення дескрипторів для кожного КТ: для кожного КТ обчислюється числовий вектор, що описує характеристики точки точки на зображенні;
- фільтрування дескрипторів: деякі дескриптори можуть бути відфільтровані, якщо вони не відповідають певним критеріям якості;
- нормалізація дескрипторів: дескриптори можуть бути нормалізовані, щоб забезпечити їх інваріантність до масштабування, поворотів та спотворень зображення;
- зіставлення дескрипторів: дескриптори використовуються для зіставлення КТ на різних зображеннях, що дозволяє визначати відповідність між об'єктами на зображеннях або їх змінами в часі [9–11].

Етапи можуть відрізнятися залежно від конкретного способу побудови дескрипторів КТ. Перехід від зображення до множини ХО дозволяє значно

зменшити обсяг інформації, зберігаючи при цьому точність та захищеність від перешкод. У більшості випадків ХО представлені числовими векторами фіксованої розмірності з асоційованими значеннями:

$$\lambda^k = (\lambda_1, \dots, \lambda_n)^k, \quad (1.1)$$

$$\lambda_i \in R^1, i = \overline{1, n}. \quad (1.2)$$

1.2 Методи формування ключових точок

Методи формування КТ можуть змінюватись в залежності від задачі та використовуваного алгоритму. Нижче розглянемо найпоширеніші з них.

Scale-Invariant Feature Transform (SIFT) і вперше був представлений у 2004 році Д. Лоу, Університет Британської Колумбії. SIFT – це незмінність до масштабу та обертання зображення. Цей алгоритм запатентований, тому його включено до модуля Non-free в OpenCV [12–14]. Алгоритм включає такі етапи:

- перетворення масштабу: зображення масштабується на різні рівні, щоб забезпечити інваріантність масштабу зображення;
- виділення КТ: на кожному рівні масштабування виділяються точки з високою локальною мінливістю інтенсивності;
- обчислення орієнтації: кожної ключової точки визначається її орієнтація шляхом побудови гістограми напрямів градієнтів в околиці точки;
- локальний опис: для кожної ключової точки будується локальний опис її околиці у вигляді векторного дескриптора, який містить інформацію про направлення градієнтів у околах;
- відбір ключових точок: із усіх ключових точок відбираються найбільш стійкі до різних трансформацій, використовуючи поріг стабільності;

– матчінг: ключові точки порівнюються між кількома зображеннями для пошуку відповідностей і вирішення різних завдань КЗ.

Метод SURF використовується для пошуку об'єктів на зображенні, але він працює не з об'єктами (не виділяє об'єкт з фону). Метод розглядає зображення як єдине ціле та шукає особливості цього зображення. При цьому особливості можуть бути всередині об'єкту, на фоні, на точках межі об'єкту та фону. SURF не знайде КТ усередині таких об'єктів простої форми та текстури. КТ будуть знайдені на межі об'єкту з фоном або лише на фоні.

Метод SURF формує $O \subset B_1^n$ (кінцеву мультимножину) із підмножини $B_1^n \subset B^n$ векторів $o = (o_1, \dots, o_n)$, $o \in O$, $n = 64 \vee 128$. Підмножина B_1^n визначена як множина n -мірних дійсних векторів, евклідова норма яких дорівнює одиниці [1, 7, 14]:

$$\|o\| = \sqrt{\sum_{i=1}^n o_i^2} = 1. \quad (1.3)$$

На практиці ця умова реалізується у наближеному вигляді:

$$B_1^n = \{o \mid o \in B^n, \|o\| \approx 1\}. \quad (1.4)$$

Опис SURF може містити сотні векторів, що суттєво уповільнює обробку.

Завдання скорочення числа векторів передбачає побудову стисненого опису O^* з урахуванням відображення $\Omega: O \rightarrow O^*$.

Варіантом опису є формування підмножини $O^* \subset O$ значно меншої потужності шляхом застосування процедури відбору (редукції) ознак O . «Редукція множини ознак» є способом компресії даних з метою зниження витрат на розпізнавання. У теорії розпізнавання цей процес називають формуванням підмножини «значимих», «унікальних» чи «інформативних» ознак.

Алгоритм методу FAST для швидкого виявлення ключових точок у зображеннях ґрунтується на порівнянні яскравості пікселів у заданому радіусі. Він працює наступним чином: спочатку вибирається піксель і задається поріг яскравості. Потім визначається, чи є обраний піксель яскравішим або темнішим за порогове значення. Далі вибирається радіус R і перевіряється, чи є R послідовних пікселів, яскравість яких відрізняється від яскравості обраного пікселя. Якщо такі пікселі є, то вибраний піксель вважається ключовою точкою. Цей процес повторюється для кожного пікселя у зображенні [15].

Шляхом порівняння яскравості пікселів усередині кола з яскравістю центрального пікселя C можна отримати один із трьох можливих результатів: піксель може бути яскравішим, темнішим або мати схожу яскравість із центральним пікселем C (рис. 1.1):

$$\begin{aligned}
 I_p &> I_c + t \\
 I_p &< I_c - t \\
 I_c - t &< I_p < I_c + t,
 \end{aligned}
 \tag{1.5}$$

де I – яскравість пікселів;

t – деякий заздалегідь фіксований поріг яскравості.

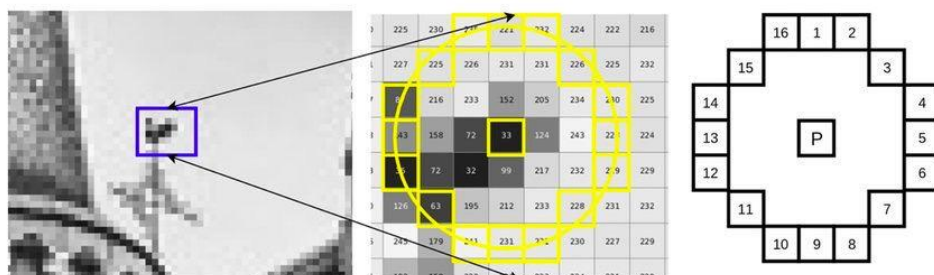


Рисунок 1.1 – Розглядувана околиця точки p детектору FAST

Після виявлення КТ створюються дескриптори кожної з них. Для створення дескриптора визначається невелика область довкола КТ, яка називається патчем (рис. 1.2). Патч – це квадрат із певними розмірами та

пікселями навколо ключової точки. Для представлення об'єкта як патчів використовуються бінарні вектори ознак, які створюються з урахуванням попарного порівняння яскравостей пікселів у патчі. Ці вектори складаються лише з двійкових значень (1 або 0) та називаються дескрипторами бінарних ознак. Кожна КТ має свій дескриптор, який є рядком з 128-512 бітів.

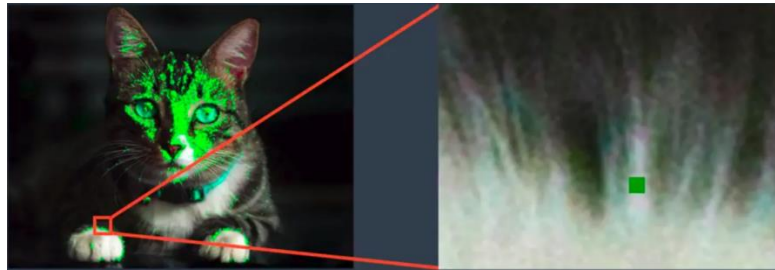


Рисунок 1.2 – Зелений квадрат у патчі є ключовою точкою

BRIEF обробляє зображення на рівні пікселів, тому воно дуже чутливе до шуму. Шляхом попереднього згладжування патча цю чутливість можна зменшити, тим самим підвищивши стабільність та відтворюваність дескрипторів. З тієї ж причини зображення мають бути згладжені, перш ніж їх можна буде осмислено диференціювати під час пошуку країв.

Для згладжування зображення у методі BRIEF застосовується ядро Гауса. Чим складніше порівняння, тим важливіше правильно вибрати дисперсію ядра Гауса, щоб досягти хорошої продуктивності [16].

Маючи згладжений патч зображення p , треба створити двійковий вектор ознак із цього патча. Далі створюється бінарний вектор ознак бінарних тестових (τ) відповідей. Двійковий тест τ визначається так:

$$\tau(p; x, y) = \begin{cases} 1, & p(x) < p(y) \\ 0, & p(x) \geq p(y) \end{cases} \quad (1.6)$$

де $p(x)$ – інтенсивність p у точці x ;

$p(y)$ – інтенсивність p у точці y .

Вибір набору з $n(x,y)$ -пар розташування однозначно визначає набір бінарних тестів. Де n – це довжина вектора бінарних ознак, і це може бути 128, 256 і 512 [12].

BRISK алгоритм виявлення ключових точок і вчислення їх дескрипторів, який базується на комбінації детектора FAST і дескриптора BRIEF. BRISK був розроблений для досягнення високої продуктивності та масштабованості, а також для забезпечення інваріантності при зміні масштабу та повороту зображення [1, 17, 18].

Як і в BRIEF, у BRISK використовується бінарний дескриптор, але на відміну від BRIEF, який використовує випадкові патчі, BRISK будує дескриптор на основі локальних бінарних шаблонів (LBP) патчів зображення.

У BRISK знаходження максимумів відбувається не тільки на оригінальному зображенні, але і в масштабованому просторі. Такий простір складається з n октав c_i і n внутрішніх октав d_i , $i = \{0, 1, \dots, n-1\}$. Зазвичай n дорівнює 4. Октави складаються шляхом зменшення масштабу вихідного зображення в 2 рази (рис. 1.3). Кожна внутрішня октава d_i розташовується між октавами c_i і c_{i+1} .

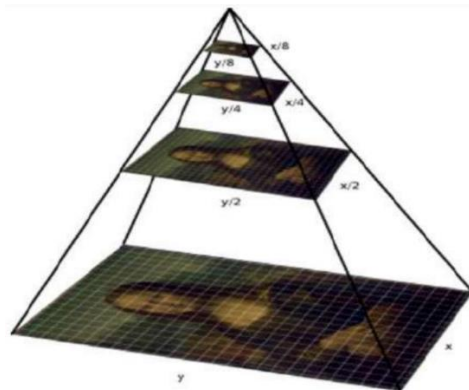


Рисунок 1.3 – Приклад піраміди зображення розбиттям на октави

Метод BRISK має властивість інваріантності до поворотів, а також частково змін масштабу і яскравості зображення. При цьому реалізація методу досить швидка і не залежить від роздільної здатності зображення.

Дескриптори функцій BRISK представляються як бінарних векторів ознак з розміром, кратним ступеня двійки, що прискорює процес зіставлення множини дескрипторів (рис. 1.4).

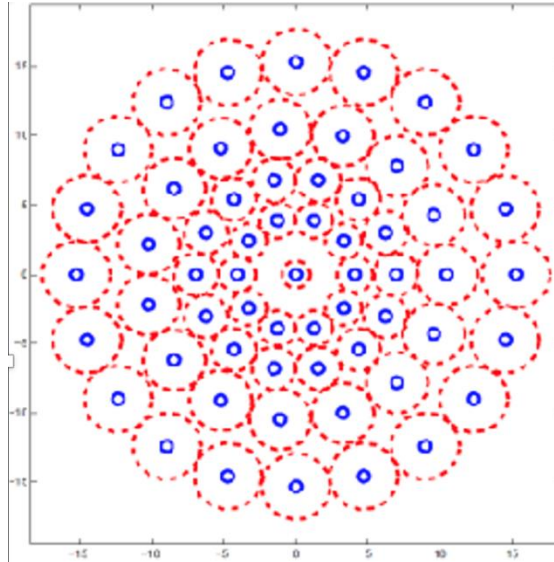


Рисунок 1.4 – Зразок вибірки BRISK

На рисунку 1.4 зображено область, що оточує ключову точку, вона розбивається на 60 ділянок. Вибірка складається з концентричних кілець.

Метод ORB, який є злиттям двох інших методів – FAST (Features from Accelerated Segment Test) та BRIEF (Binary Robust Independent Elementary Features), має багато переваг. Він забезпечує інваріантність до поворотів, масштабу та освітлення зображення, зберігаючи переваги обох методів. Для виявлення ключових точок на зображенні ORB використовує метод FAST, а для створення дескрипторів на основі цих ключових точок, застосовує алгоритм BRIEF. Для створення орієнтованих дескрипторів ORB використовує множину напрямків, що робить його більш стійким до поворотів зображення. Крім того, він застосовує механізми для скорочення кількості ключових точок, що робить його ефективнішим у порівнянні з іншими методами. Загалом ORB забезпечує швидку обробку зображень з високою точністю і надійністю, і може використовуватися в різних додатках

комп'ютерного зору, таких як розпізнавання об'єктів, трекінг об'єктів, 3D моделювання і т.д. [7, 14].

1.3 Способи зіставлення структурних описів

Структурний опис, також відомий як множина дескрипторів, являє собою множину векторів із числових або бінарних значень, які описують об'єкт або його частину на зображенні. Аналіз структурного опису полягає в оцінці його здатності точно описувати об'єкти на зображенні, а також у визначенні релевантності шляхом зіставлення опису із набором еталонних описів.

Метрики використовуються для оцінки схожості між структурними описами і визначення їх релевантності. Вони вимірюють відстань або схожість між двома дескрипторами.

Статистичне уявлення – це один із найуніверсальніших інструментів у сучасному інтелектуальному аналізі даних, ключовою перевагою якого є можливість використання загальної інформації про властивості класів об'єктів, що розпізнаються, для більш ефективного обліку особливостей об'єктів у просторі ознак, що дозволяє отримати більш точну класифікацію об'єктів. Статистичне уявлення широко використовують у різних галузях, включаючи машинне навчання, комп'ютерне зір, штучний інтелект, обробку природної мови тощо. Воно стає все більш популярним завдяки своїй універсальності, надійності та точності [8, 10, 22].

Метрики відіграють важливу роль у вирішенні завдань розпізнавання образів та інтелектуального аналізу даних. Вони є кількісним показником, який дозволяє визначити приналежність елемента до множини або подібність множин один з одним. Значення метрики часто пов'язані з ймовірнісними характеристиками віднесення елемента до класу. Незважаючи на те, що на сьогоднішній день відомо багато метрик, завдання пошуку та розробки нових

метрик залишається актуальним. Основна мета створення нових метрик полягає у підвищенні ефективності вирішення нових практичних завдань [5].

Метрика Хеммінга (МХ) вимірює різницю між двома послідовностями однакової довжини, підраховуючи кількість позицій, де ці послідовності різняться. Якщо розглядати двійкові послідовності, то МХ обчислюється як кількість різних бітів у цих послідовностях. Наприклад, якщо є дві послідовності «1010101» і «1110000», то МХ між ними дорівнює 4, тому що вони різняться в чотирьох позиціях: на другому, третьому, п'ятому і шостому бітах.

Однією з переваг МХ є те, що МХ може легко узагальнена на випадок довільних алфавітів, де замість бітів можуть використовуватися символи з будь-якого алфавіту [1, 10].

Функція, якою задається МХ, у загальному вигляді задається так:

$$d_H(X_i, X_j) = \text{sign} \sum_{s=1}^p |x_i^{(s)} - x_j^{(s)}|. \quad (1.7)$$

Характеристики метрики притаманні відстані Хеммінга, коли вона відповідає наступним умовам:

- а) $d_H(X_i, X_j) \geq 0$;
- б) $d_H(X_i, X_i) = 0$;
- в) $d_H(X_i, X_j) = d_H(X_j, X_i)$;
- г) $d_H(X_i, X_k) \leq d_H(X_i, X_j) + d_H(X_j, X_k)$.

Міська метрика, або манхеттенська відстань (МВ), є способом обчислення відстані між двома точками в прямокутній системі координат. Воно отримало свою назву завдяки формулі, що нагадує маршрути переміщення у місті Манхеттен, де вулиці утворюють прямокутну сітку. Також ця метрика відома як «таксікаб-метрика» [12].

МВ між двома точками визначається як сума модулів різниць їх координат по осях X і Y . Іншими словами, якщо дві точки мають координати (x_1, y_1) і (x_2, y_2) , то манхеттенська відстань між ними дорівнює:

$$|x_1 - x_2| + |y_1 - y_2|. \quad (1.8)$$

МВ відповідає сумі горизонтальної та вертикальної відстані між двома точками у прямокутній системі координат. У випадку, якщо точки знаходяться на одній горизонтальній лінії, відстань між ними дорівнює різниці їх координат по осі X . Якщо ж точки розташовані на одній вертикальній лінії, відстань між ними буде дорівнює різниці їх координат по осі Y .

МВ знаходить застосування у багатьох областях, включаючи геометричні обчислення, машинне навчання, КЗ тощо.

Можна виділити два різних типи метрик – метрики між дескрипторами та між множинами.

Метрики між дескрипторами оцінюють схожість або відстань між двома окремими дескрипторами. Наприклад, ви можете порівняти два дескриптори SIFT за допомогою евклідової відстані або косинусної схожості, щоб визначити, наскільки вони схожі.

Метрики між множинами використовуються для вимірювання відстані між двома наборами об'єктів, що знаходяться у різних множинах. Їх застосовують для порівняння, класифікації та кластеризації множин об'єктів. Коефіцієнт Жаккара та відстань Хеммінга є прикладами метрик між множинами [20, 21].

Отже, основна різниця полягає в тому, що метрики між дескрипторами порівнюють окремі об'єкти, тоді як метрики між множинами порівнюють цілі множини об'єктів. Крім того, метрики між множинами можуть залежати від конкретного способу обчислення подібності або відстані між множинами, так як це оцінюється на основі спільних та загальних елементів множини [8–11].

Приклад метрик між дескрипторами:

– Евклідова відстань: це метрика, яка обчислює відстань між двома точками в n -мірному просторі. Для двох векторів ознак A та B евклідова відстань можна записати як [8, 22]

$$dist = \sqrt{\sum_{i=1}^n (A_i - B_i)^2}, \quad (1.9)$$

де $i = 1, 2, \dots, n$;

– косинусна відстань: це метрика, яка вимірює кут між двома векторами ознак. Косинусна відстань між векторами A та B обчислюється за формулою (1.10):

$$\cos(\theta) = \frac{AB}{|A| \cdot |B|}, \quad (1.10)$$

де AB – скалярний добуток векторів;

$\|A\|$ та $\|B\|$ – довжини векторів.

Приклад метрики між множинами – коефіцієнт Жаккара. Ця метрика вимірює ступінь збігу між двома множинами. Вона обчислюється за формулою (1.11):

$$|A \cap B| / |A \cup B|, \quad (1.11)$$

де A і B – дві множини об'єктів.

Використання метрик, які враховують лише часткове представлення множини КТ об'єктів, дозволяє вирішувати ширший спектр завдань та підвищувати ефективність роботи систем розпізнавання. Це особливо важливо для забезпечення стабільності та надійності функціонування систем розпізнавання.

1.4 Постановка задачі

Створення моделей класифікації зображень, використовуючи методи аналізу структурних описів за допомогою критеріїв унікальності та інформативності є важливим та актуальним завданням.

Об'єтом роботи є методи класифікації зображень з відбором за критеріями унікальності та інформативності структурних ознак.

Метою роботи є створення класифікатора для вирішення проблеми швидкого віднесення зображень до класів та їх розпізнавання у системах комп'ютерного зору. За допомогою відбору частини дескрипторів за показниками інформативності та унікальності класифікатор забезпечує швидку та точну класифікацію зображень у реальному часі.

Для досягнення мети необхідно вирішити такі завдання:

- освоїти способи опису зображень та алгоритми їх обробки;
- розробити та реалізувати алгоритм класифікації зображень, який використовуватиме критерії унікальності та інформативності;
- написати програмний код для формування структури та зв'язків між ключовими точками на картинці із застосуванням методу BRISK;
- реалізувати алгоритм для класифікації вхідного зображення на основі розрахунку відстані до еталонів з фіксованої бази;
- протестувати роботу програмного коду, використовуючи тестовий матеріал у вигляді кольорових зображень NFT-персонажів розміром 420×420 пікселів;
- здійснити оцінку ефективності розробленого способу класифікації зображень.

2 КЛАСИФІКАЦІЯ ЗОБРАЖЕНЬ З ВИКОРИСТАННЯМ КРИТЕРІЇВ УНІКАЛЬНОСТІ ТА ІНФОРМАТИВНОСТІ

2.1 Огляд сучасних моделей класифікації

Хоча алгоритм класифікації зображень може відрізнятися залежно від методу, що застосовується, його етапи можна узагальнити в наступні кроки:

- для подальшої обробки зображень потрібна їхня попередня підготовка, що включає масштабування, нормалізацію, фільтрацію шуму, конвертацію в інший формат та інші подібні процедури;

- аналіз зображень з метою виділення ознак, необхідних для класифікації, включає виділення контурів, визначення колірних гістограм, вилучення текстурних ознак та інші подібні процедури;

- вибір класифікатора завдання класифікації зображень залежить від її специфіки, і найпопулярнішими методами класифікації є метод опорних векторів (SVM), НМ та дерева рішень;

- для навчання класифікатора з категоризації зображень потрібно розмічений набір даних, у якому алгоритм проходитиме аналіз ознак зображень виявлення закономірностей, здатних допомогти у розрізненні категорій;

- після закінчення навчання класифікатора його необхідно протестувати на новому наборі даних, не використаних раніше навчання, щоб оцінити його точність роботи під час тестування;

- успішно протестований класифікатор може бути застосований для класифікації нових зображень, де алгоритм аналізуватиме ознаки нового зображення та класифікуватиме його у відповідну категорію.

Є велика кількість сучасних мережних моделей класифікаторів зображень, деякі з яких є популярними і широко використовуються у сучасних програмах КЗ. Деякі з них – згорткові НМ (CNN), рекурентні НМ (RNN) і мережі довгої короткострокової пам'яті (LSTM), а також метод опорних

векторів (SVM) і дерева рішень [7–10, 22]. Окрім того, існують передбачувані моделі, які можуть бути налаштовані для вирішення специфічних задач класифікації зображень.

Загалом виділяють чотири існуючі категорії методів розпізнавання:

- порівняння із зразком (ПЗ);
- нейронні мережі (НМ);
- статистичні методи (СМ);
- структурні та синтаксичні методи (ССМ) [23].

У випадку з ПЗ в пам'яті машини зберігається множина образів, по одному з кожного класу, які будуть використовуватися для порівняння з невідомим вхідним класом. Класифікація відбувається з урахуванням заданого критерію подібності, де вхідний образ належить до класу, чий стандарт йому відповідає найкраще. Такий метод застосовується, наприклад, для розпізнавання друкованих літер та банківських чеків. Однак цей підхід має недолік – складність вибору еталона, який найкраще представляє кожен клас, та встановлення критерію відповідності. Ці складності виникають особливо при розпізнаванні рукописних літер, коли образи одного класу може бути значно спотворені. Найбільш просунутий спосіб полягає в використанні ознак, тобто деякої множини вимірювань, які малочутливі до змін та спотворень образів. За цих умов розпізнавання образів розглядається у двох задачах.

Перша задача полягає у виборі вимірювальних ознак для вхідного образу. Рішення про те, які виміри слід проводити часто є суб'єктивним і залежить від практичних обставин. На даний момент немає загальної теорії вибору вимірювальних ознак.

Друга задача розпізнавання образів полягає у класифікації вхідного образу з урахуванням відібраних ознак. Вона ґрунтується на ухваленні рішення про належність вхідного образу до певного класу [24].

НМ використовують для класифікації зображень шляхом імітації функції нейронів у головному мозку. Вони складаються з множини шарів, кожен з яких містить нейрони, що обробляють вхідні дані та передають вихідні

сигнали на наступний шар. Вхідні дані, представлені у вигляді пікселів зображення, проходять через усі шари, доки не досягнуто останній шар, який видає вихідні дані у вигляді ймовірності приналежності до кожного з можливих класів [5].

Навчання НМ відбувається шляхом налаштування ваги між нейронами в кожному шарі. На початку навчання ваги ініціалізуються випадковими значеннями, а потім коригуються за допомогою методу зворотного поширення помилки мінімізації помилки передбачення. Хоча НМ мають високу точність класифікації зображень, особливо для складних зображень з множиною ознак, для навчання моделі потрібен великий обсяг даних та обчислювальних ресурсів, і результати роботи моделі можуть бути складними для інтерпретації [6, 42].

Розглянемо процес розпізнавання об'єктів з використанням згорткової НМ (рис. 2.1). Вхідне зображення не має бути надто великим, бо тоді буде підвищуватися складність обчислення, а швидкість обробки зменшується. Але при цьому розмір і занадто маленьким не повинен бути, тому що в такому випадку не виявляться ключові точки.

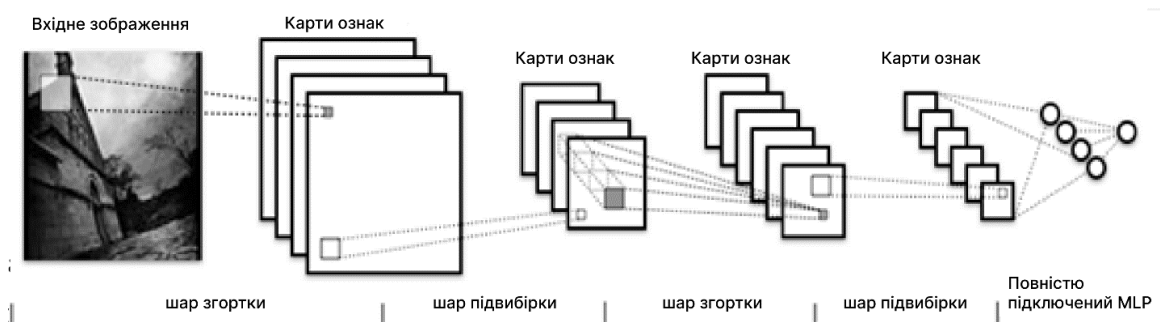


Рисунок 2.1 – Топологія згорткової НМ

Методом підбору вирішується завдання визначення розмірів зображення. Вхідний шар враховує двовимірну топологію зображень та складається з кількох матриць (карт). Якщо зображення представлено у відтінках сірого, то кількість матриць може дорівнювати одному, а у разі, якщо воно складається з трьох каналів (червоного, зеленого і синього), то матриць

може бути три. Кожна карта відповідає певному каналу зображення. Вхідні дані кожного значення пікселя нормалізуються в діапазоні від 0 до 1 відповідно до формули:

$$f(p, min, max) = \frac{p - min}{max - min}, \quad (2.1)$$

де f – функція нормалізації;

p – значення кольору пікселя від 0 до 255;

min – 0;

max – 255.

Шар згортки є сукупністю матриць ознак, де кожна карта має синаптичне ядро. Визначення оптимальної кількості матриць здійснюється експериментально. Зазвичай кожній матриці попереднього шару рекомендується використовувати дві матриці, у результаті виходить шість матриць в згортковому шарі. Розміри всіх матриць однакові і визначаються як (2.2), що забезпечує їхню узгодженість та знижує складність обчислень [43].

$$(w, h) = (mW - kW + 1, mH - kH + 1), \quad (2.2)$$

де (w, h) – обчислюваний розмір згорткової матриці;

mW – ширини матриці;

mH – висота матриці;

kW – ширина ядра;

kH – висота ядра.

Розмір ядра не повинен бути заанаадто великим чи маленьким, зазвий беруть у діапазоні від 3×3 пікселів до 7×7 пікселів.

Ядро – це головна особливість згорткової мережі, вона є єдиною системою вагових або синаптичних зв'язків. На відміну від звичайних багат шарових мереж, згорткові мережі мають загальні ваги, що дозволяє

скоротити кількість зв'язків і виявляти однакові ознаки по всій області зображення. На кожному згортковому шарі початкові значення карти дорівнюють 0, а значення ядра ваги задаються випадковим чином в діапазоні від -0,5 до 0,5. Ядро ковзає попередньою картою, використовуючи операцію згортки для обробки зображень за формулою:

$$(f \times g)[m, n] = \sum_{k,l} f[m - k, n - l] \times g[k, l], \quad (2.3)$$

де f – початкова матриця зображення;

g – ядро згортки.

Результат обробки початкової матриці може мати розмір, який менше, дорівнює або більше розміру вихідного зображення, залежно від методу обробки країв, як показано нижче (рис. 2.2).

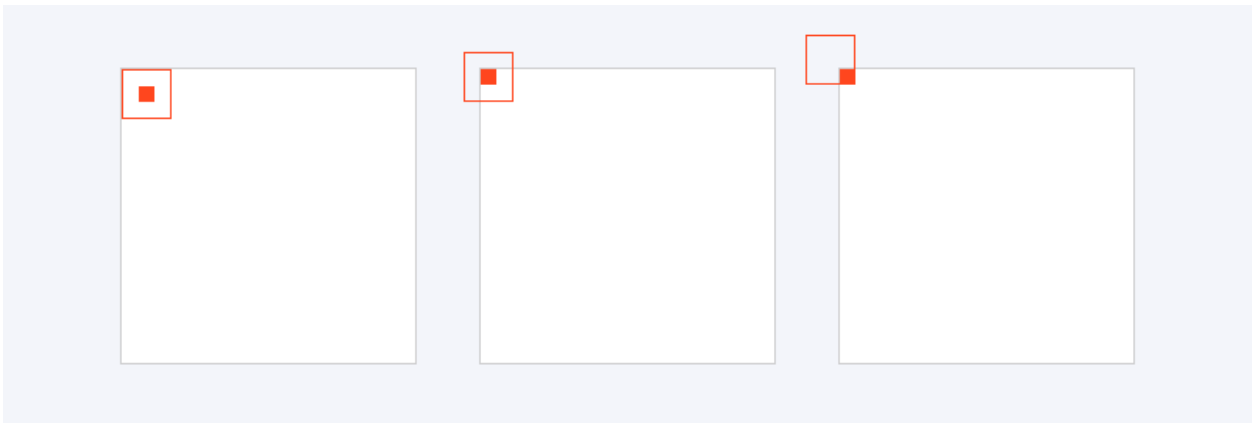


Рисунок 2.2 – Типи згортки початкової матриці

Підвібковий шар скорочує розмірність карт попереднього (згорткового) шару, використовуючи матриці, їх кількість відповідає попередньому шару, і становить 6. Фільтрація непотрібних деталей допомагає запобігти перенаванченню мережі. Ядро розміром 2×2 сканує карту попереднього шару, зменшуючи її в два рази. Відмінність від згорткового шару в тому, що ядро, що сканує, не перетинається [44].

Повнозв'язковий шар - це останній тип шару нейронної мережі, який працює як звичайний багатошаровий перцептрон. Його основне завдання – класифікація. Модель складної нелінійної функції оптимізується, щоб покращити якість розпізнавання.

Статистичні методи розпізнавання образів базуються на використанні статистичних засобів для аналізу даних та виведення узагальнених закономірностей. Ці методи дозволяють зібрати узагальнену інформацію про властивості різних класів об'єктів та використовувати її для класифікації нових об'єктів [5].

Один з основних статистичних методів розпізнавання образів – байєсівський класифікатор. Він ґрунтується на формулі Байєса, яка використовується для обчислення умовної ймовірності належності об'єкта до певного класу при заданому наборі ознак. Формула Байєса має наступний вигляд:

$$P(A|B) = \frac{P(B|A)P(A)}{P(B)}, \quad (2.4)$$

де $P(A|B)$ – умовна ймовірність того, що об'єкт належить до класу A , заданого набору ознак B ;

$P(B|A)$ – ймовірність спостереження набору ознак B за умови, що об'єкт належить до класу A ;

$P(A)$ – апіорна ймовірність того, що об'єкт належить до класу A ;

$P(B)$ - ймовірність спостереження набору ознак X .

Використовуючи (2.4), можна порівнювати умовні ймовірності належності об'єкта до різних класів та класифікувати його до того класу, для якого ймовірність найвища.

Метод наївного Байєса – це один із найпоширеніших методів машинного навчання для завдань класифікації, заснований на імовірнісній моделі. Він може бути використаний для класифікації зображень, де кожне зображення

розглядається як набір випадкових змінних, які описують можливість приналежності зображення до певного класу.

Для класифікації зображень метод наївного Байєса використовує дані про розподіл пікселів у кожному зображенні, щоб визначити ймовірність приналежності зображення до кожного класу (рис. 2.3). На відміну від методу дерев рішень, у методі наївного Байєса розглядається кожен піксель окремо, а не всі пікселі разом, що підвищує точність класифікації.

Метод наївного Байєса швидко навчається на великих обсягах даних та може швидко класифікувати нові зображення. Крім того, він працює добре з різними типами ознак, включаючи категоріальні та числові [20].

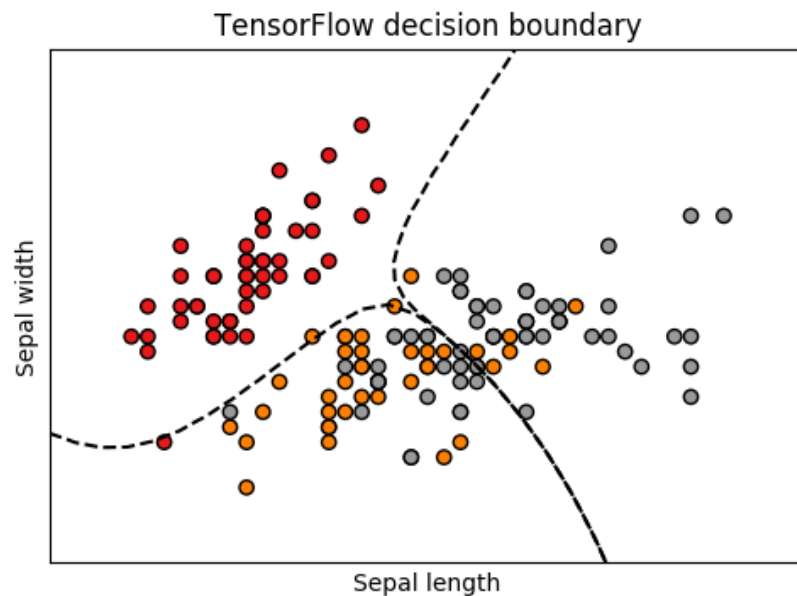


Рисунок 2.3 – Класифікатор наївного Байєса у TensorFlow

Однак метод наївного Байєса має й недоліки. Він передбачає, що кожна ознака у зображенні незалежна від інших ознак. Також метод наївного Байєса не враховує контекст зображення, як-от положення об'єктів на зображенні. В результаті він може мати обмежену точність класифікації в порівнянні з більш складними методами, такими як нейронні мережі.

Структурні методи в теорії розпізнавання образів використовуються для визначення структури об'єктів на основі їх властивостей, що дозволяє

покращити якість та ефективність розпізнавання. Ці методи базуються на аналізі геометричних та топологічних характеристик об'єктів і намагаються встановити структуру об'єкта шляхом порівняння його з попередньо заданою структурою.

Один з підходів до структурного розпізнавання – це синтаксичне розпізнавання (syntactic pattern recognition). Синтаксичне розпізнавання ґрунтується на теорії формальних мов та автоматів, яка описує мови та граматики, що використовуються для опису структури об'єктів.

Одним з підходів до структурного розпізнавання образів є метод структурного зіставлення (structural matching). Цей метод базується на порівнянні структури об'єкта з попередньо заданою моделлю шляхом зіставлення складових частин та їх відношень [32].

Для структурного розпізнавання образів можна використовувати алгоритми, які базуються на вимірюванні відстані між об'єктами в просторі характеристик. Ці характеристики можуть бути такі, як розмір, форма, кольорова гама, текстура тощо. Зазвичай використовують методи

Одним з прикладів алгоритму структурного розпізнавання є алгоритм дерева пошуку (tree search algorithm). Цей алгоритм використовується для розпізнавання образів, які можуть бути представлені у вигляді дерева з вузлами та гілками. Алгоритм порівнює дерево образу з деревом моделі та знаходить оптимальний шлях з відповідностями між вузлами.

Метод опорних векторів (МОВ) можна використовувати для класифікації зображень як метод машинного навчання. Він заснований на пошуку гіперплощини, яка розділяє зображення різних класів найефективнішим способом. Для цього МОВ шукає межу ухвалення рішення між двома класами даних, яка максимізує відстань між найближчими точками різних класів – опорними векторами (рис. 2.4) [22, 23].

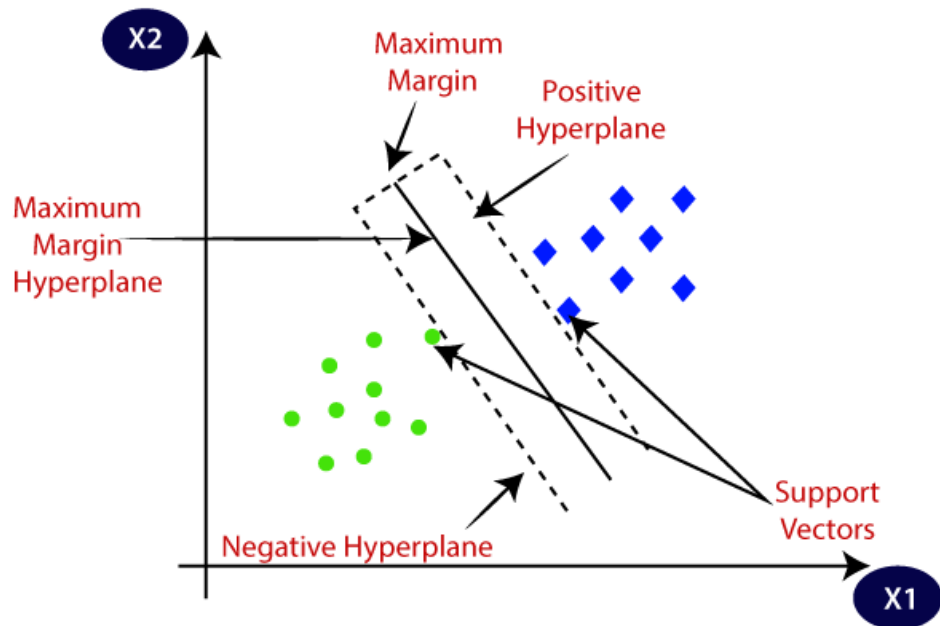


Рисунок 2.4 – Ілюстрація класифікації ознак за МОВ

Для класифікації зображень метод МОВ починає з отримання ознак зображення, які потім використовуються для створення вектора ознак. МОВ визначає якого класу відноситься кожен вектор ознак в навчальному наборі даних і будує межу прийняття рішення, що розділяє класи на площині.

Після навчання МОВ може бути використаний для класифікації нових зображень. Під час класифікації МОВ використовує межу прийняття рішення, яку він побудував під час навчання, щоб визначити якого класу відноситься вектор ознак нового зображення.

МОВ може працювати з великою кількістю ознак і вчитися на невеликих навчальних наборах даних, але для навчання на великих наборах даних можуть знадобитися значні обчислювальні ресурси та час.

Метод дерев рішень – один із найпоширеніших у машинному навчанні для класифікації та регресії. Він полягає у побудові дерева, де кожен вузол – це рішення про вибір ознаки, на основі якої дані будуть поділені на класи. У класифікації зображень дерево може визначати класи кожного зображення, використовуючи вектор ознак, наприклад, яскравість пікселів.

Після побудови дерева нові зображення класифікуються, починаючи з кореня, і кожному вузлу приймається рішення з урахуванням ознак [28].

K -найближчих сусідів (KNN) – це метод класифікації зображень, який використовує найближчих сусідів визначення класу нового зображення. Він обчислює відстань між об'єктами та вибирає k найближчих зображень з навчальної вибірки. Потім він використовує мітки класів найближчих сусідів для ухвалення рішення про класифікацію нового зображення (рис. 2.5). Метод KNN може працювати з наборами даних будь-якого розміру та обробляти як категоріальні, так і числові ознаки, що робить його простим та зрозумілим у використанні. Однак, при обробці великих навчальних наборів даних пошук найближчих сусідів може зайняти багато часу, а метод також схильний до помилок при роботі з шумними даними. Необхідно також правильно вибирати значення параметра k для досягнення найкращої точності класифікації [5].

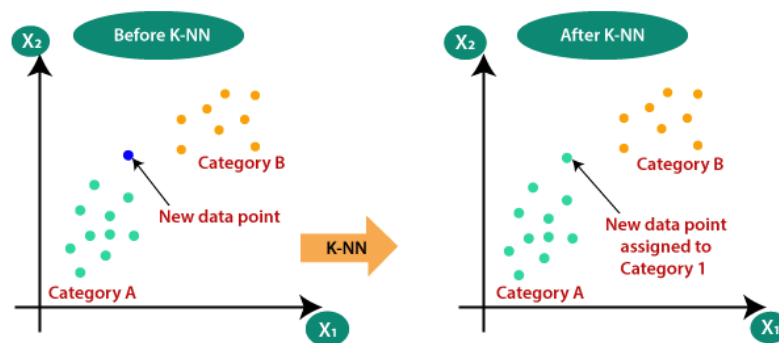


Рисунок 2.5 – Схематичне зображення роботи алгоритму KNN

Для пояснення роботи алгоритму K-NN використовують такі кроки:

- а) виберіть кількість сусідів K ;
- б) обчисліть евклідову відстань для K найближчих сусідів;
- в) виберіть K найближчих сусідів на основі обчисленої евклідової відстані;
- г) підрахуйте кількість точок даних у кожній категорії серед цих K сусідів;
- г) віднесіть нові точки даних до категорії, яка має найбільшу кількість сусідів;
- д) модель готова до використання [25].

Метод випадкового лісу (Random Forest) є одним із найпопулярніших алгоритмів класифікації зображень. Цей метод ґрунтується на створенні множини дерев рішень та об'єднанні їх голосуванням. Для створення випадкового лісу спочатку будується набір дерев рішень. Кожне дерево будується на основі підмножини навчальних даних, які вибираються випадковим чином. Це дозволяє зменшити кореляцію між деревами та збільшити різноманітність ансамблю.

Кожне дерево рішень розбиває простір на регіони за допомогою послідовного застосування умов на значеннях ознак. Для кожного регіону визначається клас, що найчастіше зустрічається серед навчальних даних, що потрапляють у цей регіон. Це називається листом дерева. Коли необхідно класифікувати нове зображення, воно проходить через кожне дерево рішень і кожне дерево видає свою відповідь. Потім відбувається голосування і підсумкова відповідь вибирається на основі відповідей усіх дерев.

Однією з головних переваг методу випадкового лісу є його здатність обробляти великі обсяги даних та нечислові ознаки. Крім того, він має високий ступінь стійкості до шуму та перенавчання.

Глибоке навчання використовує глибокі нейронні мережі для отримання ознак із зображень та класифікації [43-45]. На відміну від інших методів, де ознаки витягуються вручну, глибоке навчання дозволяє мережам самостійно отримувати ознаки. Цей метод використовує множину верств, де кожен шар витягує певні ознаки. Зворотне поширення помилки використовується для оптимізації ваги мережі. Глибоке навчання має високу точність, може використовуватися для зображень різних розмірів та форматів, але потребує великих обчислювальних ресурсів та може бути схильним до перенавчання.

2.2 Застосування параметрів унікальності та інформативності

BRISK може містити сотні векторів, що суттєво збільшує час обробки. Задача полягає в скороченні кількості векторів за допомогою стисненого опису O^* з урахуванням відображення: $\Omega: O \rightarrow O^*$.

У теорії розпізнавання зменшення множини ознак є способом стиснення даних з метою зниження витрат на розпізнавання. Цей процес називається формуванням підмножини «значущих», «унікальних» або «інформативних» ознак [1, 34].

Критерієм, за яким оцінюють подібність елементів B_1^n є метрика ρ , за яку найчастіше беруть Евклідову метрику з B_1^n . За критерій еквівалентності КТ o_i, o_j беруть значення $\rho(o_i, o_j)$, яке не перевищує апріорну величину порогу δ_o [26, 41].

Дві ключові точки еквівалентні, якщо умова $\rho(o_i, o_j) \leq \delta_o$. Подібність значень характерних ознак усередині опису та між описами оцінюється евклідовою відстанню між векторами o_i, o_j :

$$\rho(o_i, o_j) = \sqrt{\sum_v [o_i(v) - o_j(v)]^2} \quad . \quad (2.5)$$

Або як різниця числа бітів, які відрізняються між двійковими представленнями, якщо за метрику взята Хемінгова відстань (рис. 2.6).



Рисунок 2.6 – Різниця між Евклідовою та Хемінговою відстанями

Оцінити ступінь подібності між ознаками можна, побудувавши відношення на множині їх характеристик у межах опису та бази описів. Використання цього методу дозволяє покращити розпізнавання за рахунок урахування унікальних властивостей ознак. Порогове значення δ_o окреслюється відсоток максимального можливого значення (точності).

Вибір δ_o залежить також від процедури обробки. Величини порогу δ_o можуть відрізнятись. Наприклад, у процедурах навчання, під час встановлення еквівалентності ключових точок, при класифікації. Встановлене відношення еквівалентності елементів O при фіксованому значенні δ_o визначає розбиття O .

Гранулювання інформації є необхідною властивістю інтелектуальних систем, оскільки вони використовують семантику для формалізації вирішення завдань. Чітке та нечітке гранулювання є важливими інструментами для обробки даних. Гранулою інформації є підмножина універсуму, на якому визначено відношення подібності або еквівалентності між елементами. Гранулою може бути об'єднанням будь-якої кількості атомарних елементів, а універсум або опис можна представити як множину гранул. Основи теорії міри та відношень розроблені з використанням гранул, що дозволяє вирішувати завдання зі зниженням розмірності даних та ускладненням взаємозв'язків між ними. Ступінь гранулювання може бути обчислений як сума (інтеграл) значень функції приналежності елементів, що робить гранулювання корисним інструментом для обробки та аналізу даних [1, 41].

Міра $d(A)$ дискретної гранули A визначена так:

$$d(A) = \sum_{a \in A} \mu_A(a), \quad (2.6)$$

де $\mu_A(a)$ – значення функції належності гранулі A , $\mu_A(a) \in [0, 1]$.

Для чіткого подання $\mu_A(a)$ набуває бінарних значень 0 або 1. Операції над гранулами відповідають теорії множин, а гранули можуть формувати ієрархічні структури та утримувати один одного. Гранулювання даних

залежить від параметрів та реалізується певним методом. Також можна розглядати питання про оптимальне гранулювання на основі нечіткої логіки.

Для кожного еталону $O(q)$ з множини Q застосовується функція належності $\mu_A(a)$. Для кожної КТ підраховується відстань між її векторним описом (дескриптором) та іншими векторами характерних ознак. ХО вважаються однаковими, якщо відстань між їх векторами дескрипторів менша за певне значення допустимої помилки, що залежить від бази еталонів [1, 26].

Функція належності передбачає залежність всіх еталонів одного класу один від одного. Одна характеристика може бути унікальною у межах одного класу, але повторюватися у межах інших класів. Додавання нового еталону до класу вимагає перерахунку належності дескрипторів всіх еталонів у межах цього класу. Аналіз за допомогою функції належності здійснюється повторно.

Коефіцієнт унікальності τ кожної ХО обчислюється наступним чином:

$$\tau = e / total, \quad (2.7)$$

де e – кількість однакових унікальних ознак у межах одного еталону $O(q)$;

$total$ – загальна кількість еквівалентних унікальних ознак бази еталонів Q .

Якщо значення дескриптора менше певного порогу δ_o , він не враховується. Якщо ця ключова точка зустрічається в інших еталонах з бази еталонів Q , вона автоматично виключається. Видалення таких «неунікальних» ключових точок з множини досліджуваних зображень може зменшити обсяг бази даних і підвищити швидкість розпізнавання зображень.

Якість та швидкодія розпізнавання покращується при $\tau \rightarrow 1$, а обсяг бази даних зменшується.

Для елемента o_i опису $O = \{o_i\}_{i=1}^I$ визначимо число h_i повторень:

$$h_i = \sum_{j=1, j \neq i}^I 1(\rho(o_i, o_j) \leq \delta_o), \quad (2.8)$$

де $1(\rho(o_i, o_j) \leq \delta_o) = \begin{cases} 1, & \rho(o_i, o_j) \leq \delta_o, \\ 0, & \text{otherwise.} \end{cases}$

$h_i \in C_+$ – це число елементів O , еквівалентних елементу $o_i \in O$ з точністю до δ_o відповідно істинності предикату $1(\rho(o_i, o_j) \leq \delta_o)$, C_+ – множина цілих невід’ємних чисел.

Розглянемо скінченну множину $O = \{O^i\}_{i=1}^Q$ описів, що відповідають базі зображень з Q еталонів. Для кожної ключової точки $o_{ij} \in O^i$ еталону з номером i обчислимо індекси унікальності: α_{ij}, β_{ij} :

$$\alpha_{ij} = c_{ij}/s_i, \quad (2.9)$$

$$\beta_{ij} = c_{ij}^s/(s - s_i), \quad (2.10)$$

де $\alpha_{ij} \in [0, 1]$, $\beta_{ij} \in [0, 1]$, c_{ij} – число подібних елементів для o_{ij} в i -му еталоні;

s_i – число характерних ознак i -го еталону;

c_{ij}^s – значення для o_{ij} в базі еталонів, крім еталону з номером i [1];

$s = \sum_i s_i$ – загальна кількість елементів описів бази O .

Для елементів кожного еталону обчислимо значення індексів (2.10) та інтегральні показники $\sum_j \alpha_{ij}, \sum_j \beta_{ij}$. У випадку $s_i \neq s_q$ при $i \neq q$.

Індекс α_{ij} показує ступінь повторюваності j -го елементу всередині i -го еталону. Індекс β_{ij} показує рівень повторюваності j -го елементу в описах інших об’єктів бази, крім i -го. Найбільш значущим для розпізнавання можна вважати β_{ij} . Чим ближче β_{ij} до нуля, тим більш унікальний елемент серед інших елементів бази. Сума $\alpha_{ij} + \beta_{ij}$ показує ступінь унікальності елемента по всій базі. Інтегральні показники $\sum_j \alpha_{ij}, \sum_j \beta_{ij}$ характеризують загальну унікальність елементів еталону в межах бази.

Проведення аналізу значень $\{o_{ij}, \alpha_{ij}, \beta_{ij}\}$ та інтегральних показників дозволяє оцінити ступінь відмінності об’єктів бази під час використання

структурної класифікації на практиці. Вивчення індексів унікальності α_{ij}, β_{ij} дозволяє розробити та використовувати процедури скорочення характеристик як усередині еталона, так і в рамках усієї бази даних [26].

Процес фільтрації здійснюється шляхом створення предикату, який визначає важливість кожного елемента в новому описі. Використовуючи отримані характеристики, можна виділити групи ключових точок, які рідко чи часто повторюються, та створити гранули.

Можна виділити наступні способи редукції ознак:

- кожен еталон обробляється окремо, щоб знайти кортеж з ознак g з найменшими значеннями α_{ij} ;
- для кожного еталона формується кортеж з ознак g , унікальних серед інших еталонів, тобто з найменшими значеннями β_{ij} .

Збільшення швидкодії розпізнавання зображень для цих способів становить s_i/g . Трансформація ознакового простору здійснюється на попередньому етапі та не впливає на час розпізнавання.

Другий спосіб перспективніший і впливає на ефективність. Критерій β_{ij} показує рівень відмінності еталонів. Ознаки з високим значенням α_{ij} інтенсивно повторюються всередині опису. Ключові точки з максимальним значенням α_{ij} містять інформаційну складову та відображаються на результатах розпізнавання [1].

За допомогою визначення гранул і методів обчислення індексів унікальності можна створювати елементи опису в системі класифікації, що дозволяє групувати елементи гранули і значно прискорює процес їх обробки.

Класи можуть бути визначені на основі характеристик α_{ij}, β_{ij} .

Класифікуючи різні елементи в базі $U = \{u_1, u_2, \dots, u_i, \dots, u_l\}$, отримуємо подання еталону в вигляді мультимножини. Належність точки o мультимножині A встановлюється шляхом обчислення характеристичної функції:

$$\chi_A(Z) = \begin{cases} 1, & o \in A, \\ 0, & o \notin A. \end{cases} \quad (2.11)$$

Перевірка $o \in A$ виконується порівнянням o з елементами U на основі $\rho(o, u_i)$ (або іншої міри).

Клас u_* елементу o визначимо шляхом дискретної оптимізації:

$$u_* = \arg \min_{u_i \in U} \rho(o, u_i), \quad \rho(o, u_*) \leq \delta_o, \quad (2.12)$$

на множині U . Класифікація (2.12) включає перевірку умови $\rho(o, u_*) \leq \delta_o$.

Запропонований підхід дозволяє видалити з розгляду окремі елементи зображення.

На основі (2.12) при k базових класах для еталону $O(q)$ отримаємо векторне подання:

$$\phi(j) = \{\phi_1, \phi_2, \dots, \phi_i, \dots, \phi_k\}, \quad \phi_i \in C_+, \quad (2.13)$$

де ϕ_i – кратність входження i -го базового елементу.

На основі запропонованої класифікації (2.12) та векторного опису (2.13) виконана трансформація $O \rightarrow \phi$. Дане перетворення здійснено з множинного подання у векторному описі ϕ кінцевої розмірності k з компонентами із C_+ .

«Представники» кластерів задаються апріорно множиною U . Спосіб класифікації на основі U аналогічний розкладанню по системі ортогональних функцій. Основна відмінність полягає в тому, що для елементів U ортогональність не потрібна. В отриманій системі ознак не потрібно відновлювати елементи.

Розпізнавання об'єкта при мультимножинному поданні здійснюється шляхом обчислення та мінімізації відстані:

$$\rho(A, B) = \frac{\sum_i w_i |\phi_A(u_i) - \phi_B(u_i)|}{\sum_i w_i \max[\phi_A(u_i), \phi_B(u_i)]}, \quad (2.14)$$

де w_i – вагові коефіцієнти (у даному дослідженні прийнято $\sum_i w_i = 1$);

$\phi_A(u_i), \phi_B(u_i)$ – кратності при поданні множин A та B у проєкції базового елемента $u_i \in U$ [1].

2.3 Застосування голосування у структурних методах

Метод голосування дескрипторів – це метод класифікації зображень, що реалізує принцип «дескриптор об'єкта – еталон». Він ґрунтується на порівнянні дескрипторів різних об'єктів, які розглядаються як набори векторних значень, що характеризують особливості об'єкта на зображенні. Спочатку систему завантажуються зразки – набори зображень, які стосуються певним класам. До кожного зображення обчислюються дескриптори [1, 5, 41-46].

Потім при класифікації нового зображення обчислюються його дескриптори. Для кожного дескриптора знаходиться найбільш схожий дескриптор у кожному зразку, з використанням метрики подібності (використовуємо Хеммінгову відстань).

Для кожного дескриптора нового зображення визначається найближчий дескриптор еталона з використанням різних метрик відстані, таких як відстань евкліда або косинусне відстань. Потім для кожного зразка підраховується кількість дескрипторів, які були класифіковані як найближчі до його дескрипторів. Нарешті, з усіх стандартів вибирається той, який отримав найбільшу кількість голосів, тобто найбільшу кількість найближчих дескрипторів. Саме цей еталон вважається класом, до якого належить нове зображення.

Метод голосування дескрипторів є простим і швидким способом класифікації, який може використовуватися в багатьох областях, наприклад, комп'ютерний зір і розпізнавання образів. Однак він не завжди є точним і

може давати помилкові результати, особливо якщо зразки погано представляють об'єкти певного класу.

До кожного еталону у методі голосування формується незалежна система кластерів, що дозволяє описати його ключові особливості. Кожен кластер у цій системі описується деякою ознакою, наприклад, відстанню між ключовими точками, кутом повороту об'єкта або кольором. Для кожного еталону визначається, які кластери найкраще описують нове зображення. Потім проводиться голосування, і вибирається еталон, у якого найбільше збігаються кластерів з дескриптором нового зображення (рис. 2.7).

Для визначення класу об'єкта за числом голосів компонентів, спочатку обчислимо максимальне значення для кожного рядка матриці:

$$c_v = \arg \max_{i=1, \dots, N} \{d_v(i)\} \quad (2.15)$$

тобто визначимо окремо для кожного дескриптора опису найбільш вагомого класу за вектором розподілів, що відповідає параметру моди.

Для кожного дескриптора z_v опису Z за виразом (2.15) за значенням c_v інкрементуємо число h_i голосів елементів, віднесених до i -го класу:

$$h_i = \begin{cases} h_i + 1, & c_v = i, \\ h_i, & c_v \neq i. \end{cases} \quad (2.16)$$

За результатом визначення (2.16) для всієї множини дескрипторів опису Z отримуємо вектор голосів:

$$h = (h_1, h_2, \dots, h_N), \quad (2.17)$$

на підставі якого визначимо номер класу [1]:

$$j = \arg \max_b h_b. \quad (2.18)$$

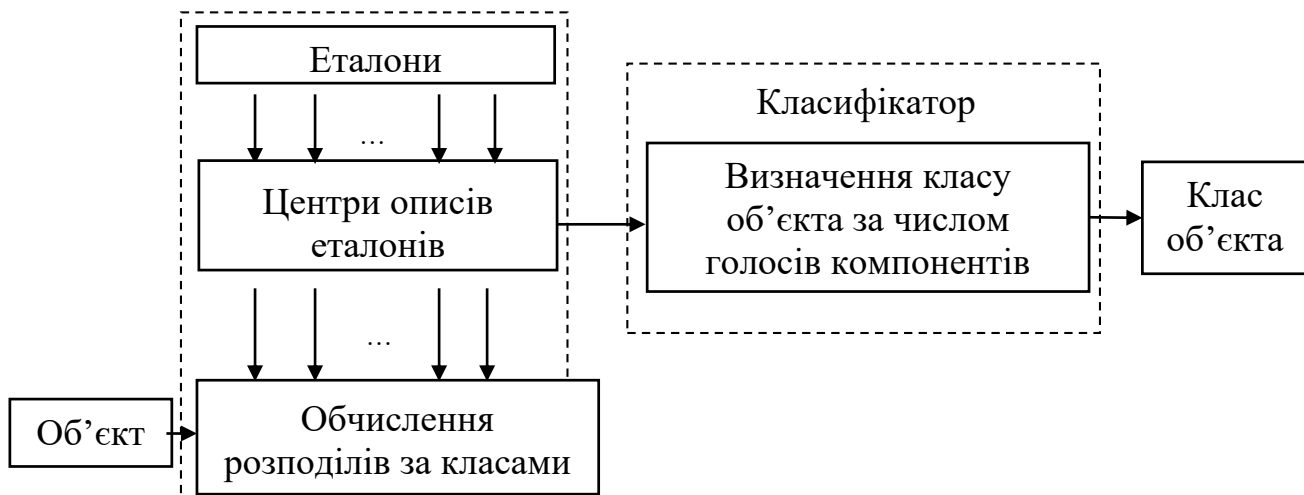


Рисунок 2.7 – Схема класифікації за методом голосування

Метод голосування є ефективним підходом до класифікації зображень, оскільки він дозволяє використовувати інформацію про безліч еталонів для ухвалення рішення про класифікацію нового об'єкта. Він також може бути розширений для роботи з великою кількістю еталонів та дескрипторів, що дозволяє підвищити точність класифікації.

3 ПРОГРАМНЕ МОДЕЛЮВАННЯ КЛАСИФІКАТОРА ЗОБРАЖЕНЬ

3.1 Обґрунтування вибору середовища програмної реалізації

У рамках кваліфікаційної роботи було змодельовано алгоритм для класифікації зображень на базі критеріїв унікальності та інформативності для структурних ознак.

C# – мова програмування, створена для переваги та вдосконалення мови C. Він не просто оновлює C, а піднімає його на новий рівень. Його назва, позначена символом #, асоціюється з музичним дієзом, що підвищує ноту на півтону. Таким чином, C# можна розглядати як покращену версію мови C.

У 1995 році компанія Sun Microsystems випустила мову програмування Java, яка була заснована на граматиці C++. Однак Microsoft, прагнучи перевершити Sun, вирішила не просто використовувати Java, а створити щось потужніше. Так виник Microsoft.NET Framework.

.NET не тільки впровадив проміжний байт-код, як у Java, а й розробив власну мову програмування – C#. C# став мовою, здатною перевершити свого попередника, надаючи розробникам більш гнучкі та потужні інструменти [46].

C# став мовою-флагманом платформи .NET і набув величезної популярності у світі розробки програмного забезпечення. Він забезпечує високу продуктивність, безпеку та масштабованість, а також широкий набір інструментів та бібліотек для розробки різноманітних програм. C# став основним вибором розробників, які прагнуть створювати сучасні та інноваційні рішення.

C# та C++ — дві мови програмування, які мають загальний корінь у мові C, але відрізняються за низкою аспектів. C# є еволюцією C, додаючи до неї об'єктно-орієнтовану парадигму з класами та об'єктами. Він забезпечує зручний синтаксис для створення класів з їх властивостями та реалізує основні принципи ОВП, такі як спадкування, інкапсуляція та поліморфізм.

Однією з ключових відмінностей C# від C++ є строга типізація, а також вбудована система збирання сміття, яка автоматично звільняє пам'ять та усуває необхідність вручну керувати пам'яттю. C# були додані такі здібності, як динамічне зв'язування, асинхронні способи і шаблони.

Однак основна відмінність між C++ і C# полягає в рівні складності та цілях. C++ є складнішою мовою, який пропонує покажчики на змінні і вимагає глибшого розуміння внутрішнього устрою мови. На відміну від C++, C# компілюється у проміжний байт-код, а не безпосередньо в машинний код. C# також тісно пов'язана з платформою .NET, у той час як C++ використовується в різних ситуаціях, подібно до універсального інструменту.

Ще однією відмінністю є відсутність C# множинного успадкування класів, що означає, що клас може бути нащадком відразу кількох різних класів. Це рішення було прийнято у C# з метою забезпечити простоту мови.

У цілому синтаксис C# вважається зручнішим проти C++. C# пропонує набір готових модулів на вирішення завдань, тоді як написання коду C++ вимагає глибшого розуміння мови.

C# і Java є схожими та головними конкурентами один одному. Вони розвивають концепції мови C++, спрощуючи її використання. Філософія цих двох мов дуже близька, але є технічні відмінності, які їх відрізняють одна від одної. Ці відмінності пов'язані з тим, що C# був розроблений спеціально для екосистеми Microsoft, тоді як Java замислювалася як відкрита платформа з відкритим кодом. Наприклад, різні підходи до реалізації параметризованих типів і відсутність C# перевірених винятків.

C# має низку переваг для вирішення завдань КЗ. Він пропонує велику бібліотеку OpenCV, яка надає широкий спектр функцій та алгоритмів для обробки зображень, розпізнавання об'єктів, трекінгу руху та інших завдань КЗ. Використання OpenCV разом із C# полегшує розробку складних алгоритмів КЗ [29].

C# інтегрується з .NET Framework, основною платформою, що забезпечує потужну інтеграцію коїться з іншими компонентами .NET. Це

дозволяє розробникам легко використовувати функціональні можливості .NET для обробки зображень, взаємодії з базами даних, створення інтерфейсу користувача та інших завдань, пов'язаних з КЗ.

C# має зручний синтаксис, що спрощує розробку та підтримку коду для завдань КЗ. Завдяки популярності C# у розробницькій спільноті існує активна спільнота, яка надає ресурси, форуми та бібліотеки для підтримки розробки завдань КЗ.

C# також надає механізми для роботи з багатопоточністю та асинхронним програмуванням. Це особливо корисно при обробці великих обсягів даних у реальному часі, що часто потрібне у завданнях КЗ. Розробники можуть використовувати паралельні обчислення та асинхронні операції для підвищення продуктивності та чуйності своїх додатків.

Крім того, існують сторонні бібліотеки та фреймворки, такі як Emgu CV, Accord.NET та AForge.NET, які розширюють можливості та надають додаткові алгоритми для роботи з КЗ у C#.

Важливо, що C# також має можливості інтеграції з іншими технологіями, включаючи машинне навчання та штучний інтелект. Розробники можуть використовувати бібліотеки машинного навчання, такі як TensorFlow.NET або ML.NET, для створення моделей КЗ та їх інтеграції до програм C#. Це дозволяє застосовувати сучасні методи та алгоритми машинного навчання для вирішення складних завдань КЗ.

В цілому, C# пропонує розробникам потужну та гнучку мову програмування для роботи із завданнями КЗ. Він має зручний синтаксис, широкі можливості інтеграції з іншими технологіями, підтримкою розробників та інструментами розробки, що робить його привабливим вибором для розробки додатків, пов'язаних з КЗ.

Резюмуючи, хотілося б навести приклад кілька всесвітньо відомих продуктів і сервісів, створених на C#. Більшість програм та сервісів, пов'язаних із продуктами Microsoft, розроблені саме на цій мові програмування. Наприклад, відомий сайт stackoverflow.com використовує C#

та фреймворк .NET для своєї розробки. Також створюються сайти Microsoft і Dell.

C# широко застосовується розробки десктопних додатків під операційну систему Windows. Програми, такі як Microsoft Visual Studio та Paint.NET, написані на C#. Бібліотека Windows Forms дозволяє створювати програми, такі як Skype, Microsoft Office та Photoshop.

Геймдев-розробники активно використовують двигун Unity для створення комп'ютерних ігор як у 2D, так і у 3D форматах. Програмування в Unity переважно здійснюється на C#. Деякі відомі ігри, такі як Rust, Hearthstone та Fall Guys створені в Unity з використанням C#. Крім того, C# дозволяє взаємодіяти з графічним та звуковим компонентами DirectX, що широко застосовуються в іграх [18].

C# також використовується для створення мобільних додатків. Існують платформи, такі як Xamarin, які дозволяють запускати код C# на різних операційних системах, включаючи Android і iOS. Багато популярних додатків написані на Xamarin.

У 2018 році до програмного середовища .NET було додано бібліотеку ML.NET, яка забезпечує можливості використання моделей машинного навчання. Хоча документації на ML.NET може бути трохи менше порівняно з бібліотеками на мові Python, вона зручна та успішно застосовується у виробничому середовищі.

Для реалізації було обране середовище Visual Studio Code (VSC) .

VS Code – одне з найпоширеніших інтегрованих середовищ розробки (ICP) у світі. Редактор підтримує підсвічування синтаксису для великої кількості мов програмування, автоматичне додавання відступів, автодоповнення коду, можливість швидкого переходу до визначення функцій та змінних. Крім того, всередині VS Code є інтегрована система контролю версій, яка дозволяє керувати та відстежувати зміни коду [7, 24].

У VS Code ви знайдете велику колекцію розширень, які дозволять вам налаштувати та розширити функціональність редактора відповідно до ваших

потреб. Ви можете додавати розширення для підтримки різних мов програмування, інтеграції з інструментами розробки, зміни в оформленні та інші додаткові можливості.

У редакторі є інтеграція із системою контролю версій Git, що значно полегшує роботу з репозиторіями та виконання різних команд Git. Ви зможете виконувати операції комміту, розгалуження, злиття та переглядати історію змін прямо з редактора, що робить процес керування версіями зручнішим та ефективнішим.

VS Code забезпечує інтуїтивний інтерфейс для налагодження коду. В рамках цього інтерфейсу ви можете легко налаштовувати точки зупинки, відстежувати значення змінних, виконувати кроки налагодження та використовувати безліч інших функцій, які допоможуть вам ефективно досліджувати та виправляти помилки у вашому коді.

VS Code має інтеграцію з різними засобами складання та розгортання, такими як `npm`, `Docker`, `Azure` та іншими. Завдяки цій інтеграції процес розробки, тестування та розгортання вашої програми стає більш зручним та спрощеним. Ви зможете легко використовувати ці інструменти прямо всередині VS Code, що дозволить вам ефективно керувати та налаштовувати середовище розробки та швидко виконувати необхідні операції складання та розгортання вашої програми.

Ще однією перевагою є можливість скористатися VS Code на різних операційних системах, включаючи `Windows`, `MacOS` і `Linux`. Будь то ваша платформа, VS Code буде доступний і повністю функціональний на ній. Таким чином, ви не обмежені у виборі платформи для використання VS Code і можете насолоджуватися його перевагами, незалежно від операційної системи, яку віддаєте перевагу.

`Emgu CV` – це бібліотека для обробки зображень та КЗ мовою `C#`, яка заснована на бібліотеці з відкритим вихідним кодом `OpenCV`. `OpenCV` надає широкий спектр функцій для обробки зображень та КЗ, а `Emgu CV` дозволяє використовувати ці функції у програмах, написаних мовою `C#`.

Emgu CV підтримує кілька операційних систем, таких як Windows, Linux та Mac OS X. Крім того, бібліотека має чудову документацію та активну спільноту користувачів, які готові ділитися своїм досвідом та знаннями. Це робить Emgu CV доступною та корисною як для початківців, так і для досвідчених розробників [18, 36].

За допомогою Emgu CV можна реалізовувати багато завдань у галузі обробки зображень та КЗ, таких як:

- розпізнавання об'єктів;
- визначення кордонів та контурів;
- вилучення ознак зображень;
- розпізнавання осіб;
- сегментація зображень;
- детектування об'єктів, що рухаються;
- визначення відстані між об'єктами на зображенні;
- побудова 3D моделей на основі зображень.

Підсумовуючи, Emgu CV – це потужний інструмент обробки зображень і КЗ мовою C#. Ця бібліотека спрощує розробку програм, пов'язаних із КЗ, завдяки швидкому доступу до функцій OpenCV.

Open Source Computer Vision Library (OpenCV) – це бібліотека з відкритим вихідним кодом, призначена для створення програм, пов'язаних з обробкою зображень та КЗ. Бібліотека написана мовою C++ і може використовуватись на різних операційних системах, включаючи Windows, Linux, Mac OS, iOS та Android. Вона надає широкий спектр функцій для вирішення завдань КЗ, таких як розпізнавання об'єктів, вилучення ознак, сегментація зображень, розпізнавання облич, детектування об'єктів, що рухаються та інше.

OpenCV надає досить багато функціоналу для вирішення складних завдань у галузі КЗ, проте в деяких випадках його функціонал може виявитися недостатнім. У таких випадках можна використовувати компоненти OpenCV для створення власного рішення задачі майже будь-якої складності. Після

створення проекту можна проаналізувати його та виправити можливі недоліки. Рішення, отримане після створення проекту на основі компонентів бібліотеки, може бути використане надалі як зразок або шаблон для вирішення аналогічних завдань.

Найбільшою перевагою OpenCV є її висока продуктивність, яка забезпечується завдяки наступним факторам:

- OpenCV містить велику кількість оптимізованих алгоритмів, написаних мовою C++, які забезпечують швидке виконання завдань з обробки зображень та КЗ;

- можливість використовувати велику кількість потоків, що сприяє розпаралелюванню задач і підвищенню їх швидкості виконання на багатоядерних процесорах;

- OpenCV підтримує апаратне прискорення на певних платформах, включаючи NVIDIA CUDA та Intel OpenCL, що дозволяє значно прискорити виконання задач на графічних процесорах (GPU) та інших спеціалізованих обчислювальних пристроях;

- велика кількість оптимізованих алгоритмів для вирішення різних завдань КЗ та обробки зображень, включаючи розпізнавання об'єктів, сегментацію зображень, вилучення ознак і детектування об'єктів, що рухаються. Ці алгоритми забезпечують швидке та ефективне вирішення завдань;

- використання оптимізованих структури даних, такі як хеш-таблиці та дерева швидкого доступу, для ефективного доступу до великих обсягів даних та оптимізації роботи з пам'яттю.

Всі ці функції та можливості, у сукупності, перетворюють OpenCV на один із найбільш затребуваних та ефективних інструментів для обробки зображень та виконання завдань КЗ.

3.2 Особливості програмної реалізації

У процесі програмної реалізації були прийняті наступні кроки та реалізовані наступні рішення (рис. 3.1).

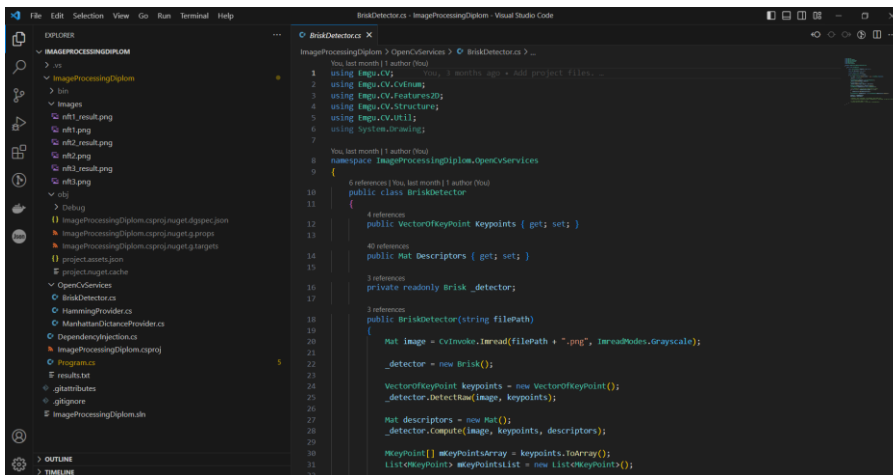


Рисунок 3.1 – Середовище розробки VS Code

Вхідний набір даних включав pft зображення (рис. 3.2) для яких детектор розпізнав КТ (рис. 3.3) та знайшов дескриптори зображень.



Рисунок 3.2 – Вхідні зображення:
а) перший еталон; б) другий еталон; в) третій еталон

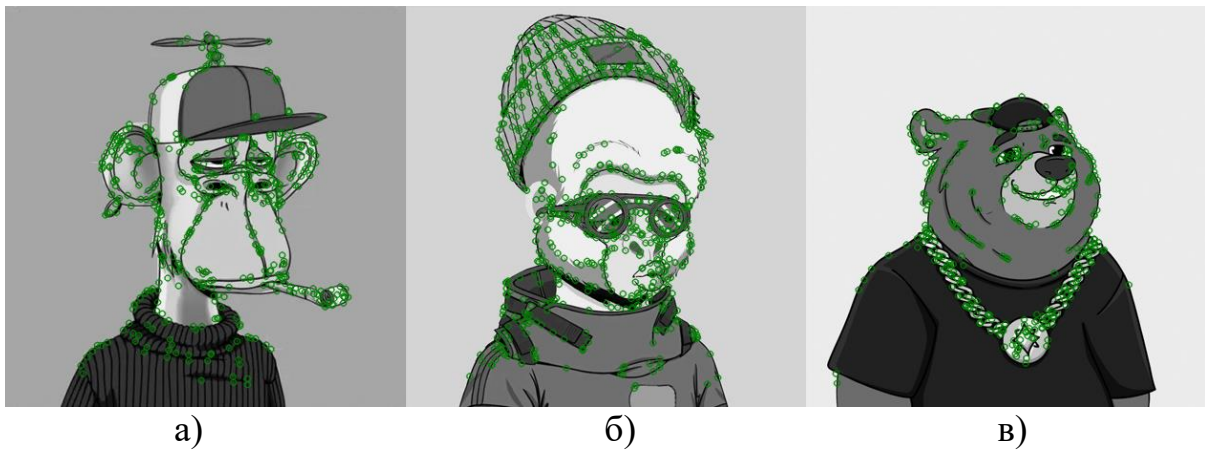


Рисунок 3.3 – Зображення з координатами ключових точок:

а) перший еталон; б) другий еталон; в) третій еталон

Конструктор класу `BriskDetector` приймає шлях до файла зображення як параметр `filePath`. Потім він виконує такі дії:

- створюється об'єкт `Mat image`, у якому завантажується зображення з файлу, вказаного в `filePath`, з допомогою методу `CvInvoke.Imread`. Зображення читається у відтінках сірого (`ImreadModes.Grayscale`), щоб спростити обробку;
- створюється екземпляр класу `Brisk` за допомогою оператора `New Brisk()`. Цей клас надає функціональність для виявлення ключових точок та обчислення їх дескрипторів за допомогою алгоритму BRISK тобто створює детектор для конкретного зображення;
- створюється об'єкт `VectorOfKeyPoint keypoints`, який міститиме виявлені ключові точки на зображенні;
- метод `detector.DetectRaw(image, keypoints)` викликається виявлення не відфільтрованих ключових точок на зображенні. Результат виявлення зберігається в ключових точках;
- створюється об'єкт `Mat descriptors`, який міститиме обчислені дескриптори для ключових точок;
- метод `detector.Compute(image, keypoints, descriptors)` викликається обчислення дескрипторів для виявлених ключових точок. Результат обчислень зберігається;

- створюється масив `mKeyPointsArray`, у якому зберігаються ключові точки з `keypoints` як масиву;
- цикл `for` проходить масивом `mKeyPointsArray` і відбирає лише значущі дескриптори для того щоб зменшити їх кількість до 500;
- створюється новий об'єкт `VectorOfKeypoint top500KeyPoints`, який копіює ключові точки з `mKeyPointsList`. Він міститиме максимум 500 ключових точок.

Значення `top500KeyPoints` надається властивості `Keypoints` класу `BriskDetector`, а значення `descriptors` присвоюється властивості `Descriptors`.

В результаті виконання конструктора `BriskDetector`, об'єкт даного класу міститиме інформацію про ключові точки та їх дескриптори для зазначеного зображення, що дозволяє використовувати їх для подальшої обробки або аналізу зображень.

Клас `DistanceProvider` містить методи для роботи з відстанями та обчисленням мінімальних значень у двовимірних масивах.

У методі `CountThresholdMathes` виконується підрахунок кількості елементів у масиві відстаней, які менші від заданого порогового значення. Для цього створюється масив `minimums`, потім відбувається ітерація елементів масиву, і якщо значення елемента менше порогового значення, то лічильник `count` збільшується. Наприкінці метод повертає значення кількості голосів які відносять до конкретного еталону.

Метод `FindMinimumsOfDistances` обчислює мінімальні значення кожного рядка масиву в матриці відстаней. Створюється масив мінімумів з тією самою кількістю елементів, що й число рядків у матриці. Потім відбувається подвійна ітерація елементів матриці `distances`, де кожен елемент порівнюється з поточним мінімальним значенням відповідного рядка масиву мінімумів. Якщо значення елемента менше поточного мінімального значення, воно стає новим мінімальним значенням. Наприкінці метод повертає масив `minimums`.

Таким чином, клас `DistanceProvider` надає зручні методи для роботи з відстанями та обчислення мінімальних значень у двовимірних масивах, що може бути корисним при обробці даних, пов'язаних із зображеннями.

Клас `HammingProvider`, який надає методи для роботи з алгоритмом Хеммінга та обчислення відстаней. Структура `VoteResult` містить список результатів, призначений для збереження результатів голосування.

Клас `HammingProvider` має кілька константних полів, включаючи кількість дескрипторів, розміри дескриптора, поріг, які використовуються у методах класу.

Метод `FindUniqueMathesForAllEtalon` приймає список матриць еталонів і повертає список двовимірних масивів результат, де кожен масив містить значення унікальних збігів для відповідної матриці `etalons`. Для цього метод виконує ітерацію кожної матриці і викликає метод знаходження унікального значення, передаючи поточну матрицю і список еталонів. Результати додаються до списку результату, який потім повертається.

Метод `FindUniqueValue` приймає матрицю еталону для порівняння і список матриць і повертає двовимірний масив результат, що містить значення унікальних збігів між ними. Метод робить подвійну ітерацію за елементами результат, де кожен елемент отримує значення повторів, що викликаються для відповідної пари матриць.

Метод `FindCountOfRepeadByHammingLenght` приймає байтовий масив `descriptor` та матрицю `etalon` і повертає кількість повторень, ґрунтуючись на довжині відстані Хеммінгу між `descriptor` та кожним елементом матриці `etalon`. Метод виконує ітерацію за елементами `descriptor` та викликає метод `FindHammingLenghtForDescriptors` для обчислення відстані Хеммінгу між елементами `descriptor` та відповідними елементами матриці `etalon`. Якщо відстань менша від порогового значення `THREADHOLD_DESC`, лічильник `result` збільшується. Потім метод повертає значення результату.

Методи `FindHammingLenghtForDescriptors`, `FindHammingDistance`, `FindHammingDistanceWithIndexes` і `FindMinHammingLenght` виконують

обчислення відстаней Хеммінга між двома байтовими масивами дескрипторів або матрицями дескрипторів, використовуючи подвійні ітерації по матрицях.

Метод `VoteEtalon` приймає список матриць `etalons` та матрицю `descriptors`. Він виконує голосування кожного дескриптора з матриці `descriptors`, визначаючи найбільш підходящу матрицю `etalon`.

Метод починає ітерацію кожного дескриптора з матриці `descriptors`. Для кожного дескриптора він виконує ітерацію за списком `etalons`, порівнюючи його з кожною матрицею `etalon`. Для порівняння використовується метод `FindMinHammingLenght`, який обчислює відстань Хеммінгу між поточним дескриптором та кожним дескриптором із матриці `etalon`.

Якщо відстань між дескрипторами менша за значення `minDistance`, яке спочатку встановлено рівним `DESC_SIZE`, то `minDistance` оновлюється, а також перевіряється, якщо `minDistance` менше порогового значення `THREADHOLD_DESC`. Якщо умова виконується, то індекс відповідної матриці `etalon` записується в змінну `indexOfEtalonToVote`.

Після закінчення внутрішньої ітерації за списком еталонів перевіряється значення `indexOfEtalonToVote`. Якщо вона не дорівнює `-1`, це означає, що була знайдена відповідна матриця `etalon` для поточного дескриптора. У такому разі значення `indexOfEtalonToVote` використовується для інкрементації відповідного елемента списку результатів.

Після завершення зовнішньої ітерації за дескрипторами, структура `VoteResult` створюється та ініціалізується. Потім для кожної матриці `etalon` результат голосування записується у відповідний елемент списку результатів. Підсумковий результат повертається із методу.

Даний метод дозволяє визначити найбільш підходящу матрицю `etalon` для кожного дескриптора з матриці `descriptors` з урахуванням відстані Хеммінга. Це може бути використане, наприклад, у завданнях розпізнавання образів або пошуку відповідності між зображеннями.

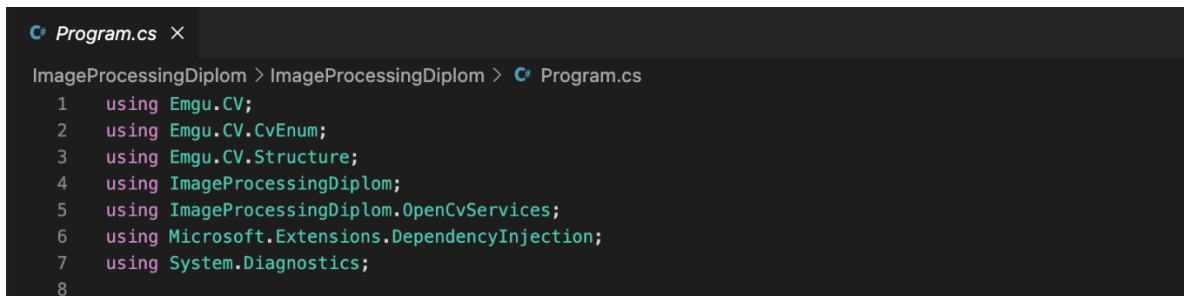
Файл `DependencyInjection.cs` містить статичний клас `DependencyInjection`, у якому визначено метод `AddServices`. Цей метод

розширює функціональність класу `IServiceCollection`, який є частиною фреймворку `Microsoft.Extensions.DependencyInjection` і надає механізм реєстрації та дозволу залежностей.

Усередині методу `AddServices` відбувається реєстрація двох сервісів: `HammingProvider` та `ManhattanDistanceProvider`. Ці послуги додаються до колекції послуг за допомогою методу `AddTransient`. Метод `AddTransient` вказує, що кожного разу, коли запит цих сервісів повинен створюватися новий екземпляр. Таким чином, при кожному запиті `HammingProvider` та `ManhattanDistanceProvider` буде створюватися новий об'єкт.

Після реєстрації сервісів метод `AddServices` повертає об'єкт `services`. Це дозволяє використовувати ланцюжок дзвінків для додавання інших сервісів або налаштування залежностей в інших частинах коду.

Цей файл є частиною конфігурації залежностей програми та полегшує керування та дозвіл залежностей в інших частинах програми (рис. 3.4).



```

Program.cs x
ImageProcessingDiplom > ImageProcessingDiplom > Program.cs
1 using Emgu.CV;
2 using Emgu.CV.CvEnum;
3 using Emgu.CV.Structure;
4 using ImageProcessingDiplom;
5 using ImageProcessingDiplom.OpenCvServices;
6 using Microsoft.Extensions.DependencyInjection;
7 using System.Diagnostics;
8

```

Рисунок 3.4 – Бібліотеки, які підключаються до файлу `Program.cs`

У файлі `Program.cs` використовується бібліотека `Emgu.CV` для обробки зображень та виконує деякі операції з обробки дескрипторів зображень.

Спочатку відбувається налаштування залежностей за допомогою `Dependency Injection`. Створюється контейнер служб і додаються служби `HammingProvider` та `ManhattanDistanceProvider` з `ImageProcessingDiplom.OpenCvServices`.

Потім визначаються шляхи до зображень у змінній `imagePathes`. Далі створюються екземпляри класу `BriskDetector` для кожного зображення та

втягуються їх дескриптори. Наступним кроком виводиться кількість знайдених ключових точок на кожному зображенні.

Запускається секундомір і викликається метод `FindUniqueMathesForAllEtalon` для обчислення унікальних збігів між дескрипторами. Результат зберігається в змінну `uniqueNumbers`. Секундомір зупиняється і виводиться час, витрачений на обчислення.

Далі слідує блок коду, який створює і заповнює двовимірний список `b` з розмірами 3×500 . Потім виконується вкладений цикл, в якому значенням `b` додаються суми відповідних елементів з `uniqueNumbers`, виключаючи значення з поточного зображення. Далі у двовимірний список `s` копіюються значення з `uniqueNumbers`, а потім кожне значення поділяється на 1500.

Запускається секундомір `stopwatch3`, і кожної пари зображень викликається метод `FindHammingDistance`, щоб обчислити відстань Хеммінга між дескрипторами. Потім секундомір зупиняється і виводиться час, витрачений на обчислення. Для кожної пари зображень викликається метод `CountThresholdMathes`, щоб підрахувати граничну кількість збігів, ґрунтуючись на відстанях Хеммінга.

Потім створюються індекси для вибору найбільш відповідних елементів `b`. Запускається секундомір `stopwatch4`, і кожної пари зображень викликається метод `FindHammingDistanceWithIndexes`, щоб обчислити відстань Хеммінга з допомогою вибраних індексів. Потім секундомір зупиняється і виводиться час, витрачений на обчислення.

Наприкінці виводяться результати збігів між парами зображень. Вимірювання часу зупиняється і виводиться в консоль. Обчислюється кількість збігів кожної пари дескрипторів з допомогою методу `CountThresholdMathes`, результати виводяться в консоль і додаються змінну `results`. Результати виводяться у текстовий файл `results.txt`.

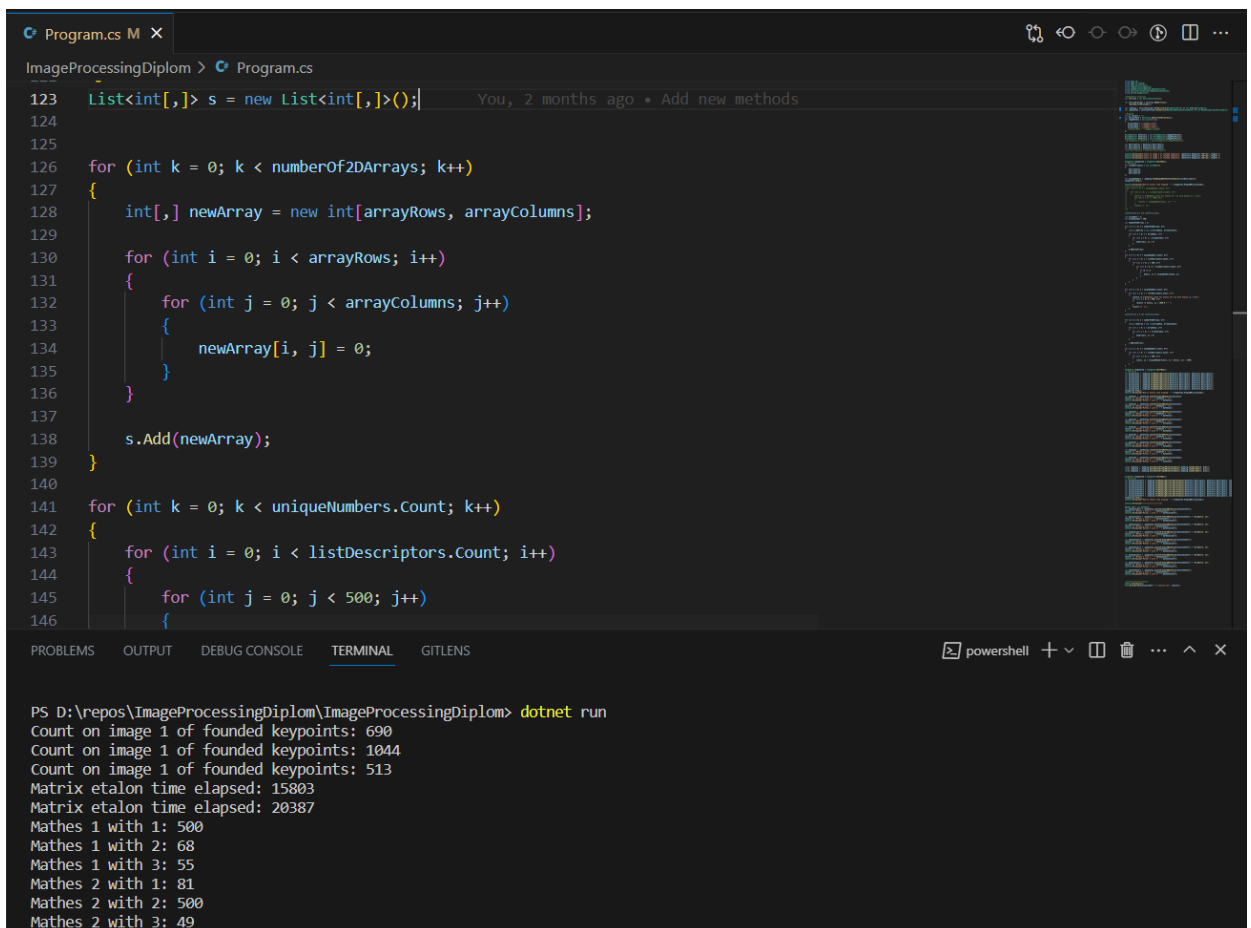
Ця ділянка коду виконує виявлення ключових точок на зображеннях, обчислення дескрипторів, обчислення унікальності та збігу між дескрипторами, а також записує результати у файл.

3.3 Інструкція користувача

Для запуску програми необхідно скачати редистрибутив .NET 6 для відтворення застосунку з офіційно сайту Microsoft, в залежності від типу системи на якій буде відтворюватись необхідно вибрати підходящий тип архітектури x86 або x64 та вид операційної системи.

Далі необхідно скопіювати зображення в форматі png в папку Images всередині проекту та змінити їх назву на image1, image2 і так далі в залежності від кількості еталонів які оцінюються.

Далі необхідно в тій самій папці, де знаходиться проект з розширенням sln, запустити термінал та прописати команду dotnet run (рис. 3.5).



```
Program.cs M X
ImageProcessingDiplom > Program.cs
123 List<int[,]> s = new List<int[,]>();
124
125
126 for (int k = 0; k < numberOf2DArrays; k++)
127 {
128     int[,] newArray = new int[arrayRows, arrayColumns];
129
130     for (int i = 0; i < arrayRows; i++)
131     {
132         for (int j = 0; j < arrayColumns; j++)
133         {
134             newArray[i, j] = 0;
135         }
136     }
137
138     s.Add(newArray);
139 }
140
141 for (int k = 0; k < uniqueNumbers.Count; k++)
142 {
143     for (int i = 0; i < listDescriptors.Count; i++)
144     {
145         for (int j = 0; j < 500; j++)
146         {
147
148
149
150
151
152
153
154
155
156
157
158
159
160
161
162
163
164
165
166
167
168
169
170
171
172
173
174
175
176
177
178
179
180
181
182
183
184
185
186
187
188
189
190
191
192
193
194
195
196
197
198
199
200
201
202
203
204
205
206
207
208
209
210
211
212
213
214
215
216
217
218
219
220
221
222
223
224
225
226
227
228
229
230
231
232
233
234
235
236
237
238
239
240
241
242
243
244
245
246
247
248
249
250
251
252
253
254
255
256
257
258
259
260
261
262
263
264
265
266
267
268
269
270
271
272
273
274
275
276
277
278
279
280
281
282
283
284
285
286
287
288
289
290
291
292
293
294
295
296
297
298
299
300
301
302
303
304
305
306
307
308
309
310
311
312
313
314
315
316
317
318
319
320
321
322
323
324
325
326
327
328
329
330
331
332
333
334
335
336
337
338
339
340
341
342
343
344
345
346
347
348
349
350
351
352
353
354
355
356
357
358
359
360
361
362
363
364
365
366
367
368
369
370
371
372
373
374
375
376
377
378
379
380
381
382
383
384
385
386
387
388
389
390
391
392
393
394
395
396
397
398
399
400
401
402
403
404
405
406
407
408
409
410
411
412
413
414
415
416
417
418
419
420
421
422
423
424
425
426
427
428
429
430
431
432
433
434
435
436
437
438
439
440
441
442
443
444
445
446
447
448
449
450
451
452
453
454
455
456
457
458
459
460
461
462
463
464
465
466
467
468
469
470
471
472
473
474
475
476
477
478
479
480
481
482
483
484
485
486
487
488
489
490
491
492
493
494
495
496
497
498
499
500
501
502
503
504
505
506
507
508
509
510
511
512
513
514
515
516
517
518
519
520
521
522
523
524
525
526
527
528
529
530
531
532
533
534
535
536
537
538
539
540
541
542
543
544
545
546
547
548
549
550
551
552
553
554
555
556
557
558
559
560
561
562
563
564
565
566
567
568
569
570
571
572
573
574
575
576
577
578
579
580
581
582
583
584
585
586
587
588
589
590
591
592
593
594
595
596
597
598
599
600
601
602
603
604
605
606
607
608
609
610
611
612
613
614
615
616
617
618
619
620
621
622
623
624
625
626
627
628
629
630
631
632
633
634
635
636
637
638
639
640
641
642
643
644
645
646
647
648
649
650
651
652
653
654
655
656
657
658
659
660
661
662
663
664
665
666
667
668
669
670
671
672
673
674
675
676
677
678
679
680
681
682
683
684
685
686
687
688
689
690
691
692
693
694
695
696
697
698
699
700
701
702
703
704
705
706
707
708
709
710
711
712
713
714
715
716
717
718
719
720
721
722
723
724
725
726
727
728
729
730
731
732
733
734
735
736
737
738
739
740
741
742
743
744
745
746
747
748
749
750
751
752
753
754
755
756
757
758
759
760
761
762
763
764
765
766
767
768
769
770
771
772
773
774
775
776
777
778
779
780
781
782
783
784
785
786
787
788
789
790
791
792
793
794
795
796
797
798
799
800
801
802
803
804
805
806
807
808
809
810
811
812
813
814
815
816
817
818
819
820
821
822
823
824
825
826
827
828
829
830
831
832
833
834
835
836
837
838
839
840
841
842
843
844
845
846
847
848
849
850
851
852
853
854
855
856
857
858
859
860
861
862
863
864
865
866
867
868
869
870
871
872
873
874
875
876
877
878
879
880
881
882
883
884
885
886
887
888
889
890
891
892
893
894
895
896
897
898
899
900
901
902
903
904
905
906
907
908
909
910
911
912
913
914
915
916
917
918
919
920
921
922
923
924
925
926
927
928
929
930
931
932
933
934
935
936
937
938
939
940
941
942
943
944
945
946
947
948
949
950
951
952
953
954
955
956
957
958
959
960
961
962
963
964
965
966
967
968
969
970
971
972
973
974
975
976
977
978
979
980
981
982
983
984
985
986
987
988
989
990
991
992
993
994
995
996
997
998
999
1000
1001
1002
1003
1004
1005
1006
1007
1008
1009
1010
1011
1012
1013
1014
1015
1016
1017
1018
1019
1020
1021
1022
1023
1024
1025
1026
1027
1028
1029
1030
1031
1032
1033
1034
1035
1036
1037
1038
1039
1040
1041
1042
1043
1044
1045
1046
1047
1048
1049
1050
1051
1052
1053
1054
1055
1056
1057
1058
1059
1060
1061
1062
1063
1064
1065
1066
1067
1068
1069
1070
1071
1072
1073
1074
1075
1076
1077
1078
1079
1080
1081
1082
1083
1084
1085
1086
1087
1088
1089
1090
1091
1092
1093
1094
1095
1096
1097
1098
1099
1100
1101
1102
1103
1104
1105
1106
1107
1108
1109
1110
1111
1112
1113
1114
1115
1116
1117
1118
1119
1120
1121
1122
1123
1124
1125
1126
1127
1128
1129
1130
1131
1132
1133
1134
1135
1136
1137
1138
1139
1140
1141
1142
1143
1144
1145
1146
1147
1148
1149
1150
1151
1152
1153
1154
1155
1156
1157
1158
1159
1160
1161
1162
1163
1164
1165
1166
1167
1168
1169
1170
1171
1172
1173
1174
1175
1176
1177
1178
1179
1180
1181
1182
1183
1184
1185
1186
1187
1188
1189
1190
1191
1192
1193
1194
1195
1196
1197
1198
1199
1200
1201
1202
1203
1204
1205
1206
1207
1208
1209
1210
1211
1212
1213
1214
1215
1216
1217
1218
1219
1220
1221
1222
1223
1224
1225
1226
1227
1228
1229
1230
1231
1232
1233
1234
1235
1236
1237
1238
1239
1240
1241
1242
1243
1244
1245
1246
1247
1248
1249
1250
1251
1252
1253
1254
1255
1256
1257
1258
1259
1260
1261
1262
1263
1264
1265
1266
1267
1268
1269
1270
1271
1272
1273
1274
1275
1276
1277
1278
1279
1280
1281
1282
1283
1284
1285
1286
1287
1288
1289
1290
1291
1292
1293
1294
1295
1296
1297
1298
1299
1300
1301
1302
1303
1304
1305
1306
1307
1308
1309
1310
1311
1312
1313
1314
1315
1316
1317
1318
1319
1320
1321
1322
1323
1324
1325
1326
1327
1328
1329
1330
1331
1332
1333
1334
1335
1336
1337
1338
1339
1340
1341
1342
1343
1344
1345
1346
1347
1348
1349
1350
1351
1352
1353
1354
1355
1356
1357
1358
1359
1360
1361
1362
1363
1364
1365
1366
1367
1368
1369
1370
1371
1372
1373
1374
1375
1376
1377
1378
1379
1380
1381
1382
1383
1384
1385
1386
1387
1388
1389
1390
1391
1392
1393
1394
1395
1396
1397
1398
1399
1400
1401
1402
1403
1404
1405
1406
1407
1408
1409
1410
1411
1412
1413
1414
1415
1416
1417
1418
1419
1420
1421
1422
1423
1424
1425
1426
1427
1428
1429
1430
1431
1432
1433
1434
1435
1436
1437
1438
1439
1440
1441
1442
1443
1444
1445
1446
1447
1448
1449
1450
1451
1452
1453
1454
1455
1456
1457
1458
1459
1460
1461
1462
1463
1464
1465
1466
1467
1468
1469
1470
1471
1472
1473
1474
1475
1476
1477
1478
1479
1480
1481
1482
1483
1484
1485
1486
1487
1488
1489
1490
1491
1492
1493
1494
1495
1496
1497
1498
1499
1500
1501
1502
1503
1504
1505
1506
1507
1508
1509
1510
1511
1512
1513
1514
1515
1516
1517
1518
1519
1520
1521
1522
1523
1524
1525
1526
1527
1528
1529
1530
1531
1532
1533
1534
1535
1536
1537
1538
1539
1540
1541
1542
1543
1544
1545
1546
1547
1548
1549
1550
1551
1552
1553
1554
1555
1556
1557
1558
1559
1560
1561
1562
1563
1564
1565
1566
1567
1568
1569
1570
1571
1572
1573
1574
1575
1576
1577
1578
1579
1580
1581
1582
1583
1584
1585
1586
1587
1588
1589
1590
1591
1592
1593
1594
1595
1596
1597
1598
1599
1600
1601
1602
1603
1604
1605
1606
1607
1608
1609
1610
1611
1612
1613
1614
1615
1616
1617
1618
1619
1620
1621
1622
1623
1624
1625
1626
1627
1628
1629
1630
1631
1632
1633
1634
1635
1636
1637
1638
1639
1640
1641
1642
1643
1644
1645
1646
1647
1648
1649
1650
1651
1652
1653
1654
1655
1656
1657
1658
1659
1660
1661
1662
1663
1664
1665
1666
1667
1668
1669
1670
1671
1672
1673
1674
1675
1676
1677
1678
1679
1680
1681
1682
1683
1684
1685
1686
1687
1688
1689
1690
1691
1692
1693
1694
1695
1696
1697
1698
1699
1700
1701
1702
1703
1704
1705
1706
1707
1708
1709
1710
1711
1712
1713
1714
1715
1716
1717
1718
1719
1720
1721
1722
1723
1724
1725
1726
1727
1728
1729
1730
1731
1732
1733
1734
1735
1736
1737
1738
1739
1740
1741
1742
1743
1744
1745
1746
1747
1748
1749
1750
1751
1752
1753
1754
1755
1756
1757
1758
1759
1760
1761
1762
1763
1764
1765
1766
1767
1768
1769
1770
1771
1772
1773
1774
1775
1776
1777
1778
1779
1780
1781
1782
1783
1784
1785
1786
1787
1788
1789
1790
1791
1792
1793
1794
1795
1796
1797
1798
1799
1800
1801
1802
1803
1804
1805
1806
1807
1808
1809
1810
1811
1812
1813
1814
1815
1816
1817
1818
1819
1820
1821
1822
1823
1824
1825
1826
1827
1828
1829
1830
1831
1832
1833
1834
1835
1836
1837
1838
1839
1840
1841
1842
1843
1844
1845
1846
1847
1848
1849
1850
1851
1852
1853
1854
1855
1856
1857
1858
1859
1860
1861
1862
1863
1864
1865
1866
1867
1868
1869
1870
1871
1872
1873
1874
1875
1876
1877
1878
1879
1880
1881
1882
1883
1884
1885
1886
1887
1888
1889
1890
1891
1892
1893
1894
1895
1896
1897
1898
1899
1900
1901
1902
1903
1904
1905
1906
1907
1908
1909
1910
1911
1912
1913
1914
1915
1916
1917
1918
1919
1920
1921
1922
1923
1924
1925
1926
1927
1928
1929
1930
1931
1932
1933
1934
1935
1936
1937
1938
1939
1940
1941
1942
1943
1944
1945
1946
1947
1948
1949
1950
1951
1952
1953
1954
1955
1956
1957
1958
1959
1960
1961
1962
1963
1964
1965
1966
1967
1968
1969
1970
1971
1972
1973
1974
1975
1976
1977
1978
1979
1980
1981
1982
1983
1984
1985
1986
1987
1988
1989
1990
1991
1992
1993
1994
1995
1996
1997
1998
1999
2000
2001
2002
2003
2004
2005
2006
2007
2008
2009
2010
2011
2012
2013
2014
2015
2016
2017
2018
2019
2020
2021
2022
2023
2024
2025
2026
2027
2028
2029
2030
2031
2032
2033
2034
2035
2036
2037
2038
2039
2040
2041
2042
2043
2044
2045
2046
2047
2048
2049
2050
2051
2052
2053
2054
2055
2056
2057
2058
2059
2060
2061
2062
2063
2064
2065
2066
2067
2068
2069
2070
2071
2072
2073
2074
2075
2076
2077
2078
2079
2080
2081
2082
2083
2084
2085
2086
2087
2088
2089
2090
2091
2092
2093
2094
2095
2096
2097
2098
2099
2100
2101
2102
2103
2104
2105
2106
2107
2108
2109
2110
2111
2112
2113
2114
2115
2116
2117
2118
2119
2120
2121
2122
2123
2124
2125
2126
2127
2128
2129
2130
2131
2132
2133
2134
2135
2136
2137
2138
2139
2140
2141
2142
2143
2144
2145
2146
2147
2148
2149
2150
2151
2152
2153
2154
2155
2156
2157
2158
2159
2160
2161
2162
2163
2164
2165
2166
2167
2168
2169
2170
2171
2172
2173
2174
2175
2176
2177
2178
2179
2180
2181
2182
2183
2184
2185
2186
2187
2188
2189
2190
2191
2192
2193
2194
2195
2196
2197
2198
2199
2200
2201
2202
2203
2204
2205
2206
2207
2208
2209
2210
2211
2212
2213
2214
2215
2216
2217
2218
2219
2220
2221
2222
2223
2224
2225
2226
2227
2228
2229
2230
2231
2232
2233
2234
2235
2236
2237
2238
2239
2240
2241
2242
2243
2244
2245
2246
2247
2248
2249
2250
2251
2252
2253
2254
2255
2256
2257
2258
2259
2260
2261
2262
2263
2264
2265
2266
2267
2268
2269
2270
2271
2272
2273
2274
2275
2276
2277
2278
2279
2280
2281
2282
2283
2284
2285
2286
2287
2288
2289
2290
2291
2292
2293
2294
2295
2296
2297
2298
2299
2300
2301
2302
2303
2304
2305
2306
2307
2308
2309
2310
2311
2312
2313
2314
2315
2316
2317
2318
2319
2320
2321
2322
2323
2324
2325
2326
2327
2328
2329
2330
2331
2332
2333
2334
2335
2336
2337
2338
2339
2340
2341
2342
2343
2344
2345
2346
2347
2348
2349
2350
2351
2352
2353
2354
2355
2356
2357
2358
2359
2360
2361
2362
2363
2364
2365
2366
2367
2368
2369
2370
2371
2372
2373
2374
2375
2376
2377
2378
2379
2380
2381
2382
2383
2384
2385
2386
2387
2388
2389
2390
2391
2392
2393
2394
2395
2396
2397
2398
2399
2400
2401
2402
2403
2404
2405
2406
2407
2408
2409
2410
2411
2412
2413
2414
2415
2416
2417
2418
2419
2420
2421
2422
2423
2424
2425
2426
2427
2428
2429
2430
2431
2432
2433
2434
2435
2436
2437
2438
2439
2440
2441
2442
2443
2444
2445
2446
2447
2448
2449
2450
2451
2452
2453
2454
2455
2456
2457
2458
2459
2460
2461
2462
2463
2464
2465
2466
2467
2468
2469
2470
2471
2472
2473
2474
2475
2476
2477
2478
2479
2480
2481
2482
2483
2484
2485
2486
2487
2488
2489
2490
2491
2492
2493
2494
2495
2496
2497
2498
2499
2500
2501
2502
2503
2504
2505
2506
2507
2508
2509
2510
2511
2512
2513
2514
2515
2516
2517
2518
2519
2520
2521
2522
2523
2524
2525
2526
2527
2528
2529
2530
2531
2532
2533
2534
2535
2536
2537
2538
2539
2540
2541
2542
2543
2544
2545
2546
2547
2548
2549
2550
2551
2552
2553
2554
2555
2556
2557
2558
2559
2560
2561
2562
2563
2564
2565
2566
2567
2568
2569
2570
2571
2572
2573
2574
2575
2576
2577
2578
2579
2580
2581
2582
2583
2584
2585
2586
2587
2588
2589
2590
2591
2592
2593
2594
2595
2596
2597
2598
2599
2600
2601
2602
2603
2604
2605
2606
2607
2608
2609
2610
2611
2612
2613
2614
2615
2616
2617
2618
2619
2620
2621
2622
2623
2624
2625
2626
2627
2628
2629
2630
2631
2632
2633
2634
2635
2636
2637
2638
2639
2640
2641
2642
2643
2
```

3.4 Аналіз експериментальних результатів

В ході використання методу на основі параметру унікальності та віднесення їх до певного класу, вдалося оцінити час та результати голосувань дескрипторів для різних методів. Для класичного методу голосування було обрано відповідно по 500 дескрипторів, обраховано хемінгову відстань опису зображення від всіх еталонів (табл. 3.1). Як бачимо, класифікація проведена правильно і програма витратила близько 21391 мс.

Таблиця 3.1 – Класичний метод голосування на 500 дескрипторів

Еталони	1	2	3
1	500	68	55
2	81	500	49
3	58	52	500
Обсяг часу		21391 мс	

Для методу оцінки з відбором дескрипторів за показником інформативності альфа було отримано приблизно такої ж якості результати класифікації (табл. 3.2). Кількість голосів співвідносна з класичним методом навіть для еталонів, до яких зображення не було віднесене. Отже, цей метод має достатню точність, при цьому час виконання зменшився до 4786 мс.

Таблиця 3.2 – Метод голосування для 100 дескрипторів з найбільшою інформативністю за показником альфа

Еталони	1	2	3
1	100	8	7
2	7	100	6
3	12	10	100
Обсяг часу		4786 мс	

Отже, відбір лише частини дескрипторів за критерієм інформативності альфа є доцільним і може застосовуватись для суттєвого пришвидщення процесу класифікації, адже обробка даних пов'язана в визначенням показників інформативності еталонів. Вона проводиться на етапі попередньої обробки і її час на виконання класифікації не враховується.

Подібні результати кажуть про необхідність перевірки результативності цього методу на більшому наборі вхідних даних для більш точного визначення виграшу в часі в порівнянні з класичним методом, або для вдосконалення цього методу.

Для методу оцінки інформативності за показником бета порівняння проводиться за показником, що вказує на неподібність опису до інших еталонів, тому результат класифікації вказує на більшу відповідність тільки найменших відстаней при класифікації і не враховує віддалення до інших еталонів. Результати класифікації (табл. 3.3) такж виявились ефективними і швидшими за класичний метод і програма виконалась за 3824 мс.

Таблиця 3.3 – Метод голосування для 100 дескрипторів з найбільшою інформативністю за показником бета

Еталони	1	2	3
1	100	6	75
2	5	100	2
3	6	3	100
Витрачено часу		3284 мс	

Через більш чітке віднесення до конкретного класу, ефективність оцінки за показником бета буде зростати для схожих зображень, адже навіть при великій кількості дескрипторів, які матимуть невелику хемінгову відстань між собою, для класифікації будуть відбиратись показники з найбільшим ступенем інформативності на основі інших класів.

Загалом результати показали що методи класифікації з використанням показників інформативності для компонентів опису є перспективним напрямом для дослідження та мають потенціал для використання замість традиційного метода голосування.

ВИСНОВКИ

У рамках кваліфікаційної роботи був розроблений і реалізований метод класифікації зображень за допомогою оцінки значень інформативності дескрипторів зображень.

На основі редукції кількості ознак в складах опису, тобто зменшення кількості необхідних операцій, виконується відбір дескрипторів за значенням інформативності. Це дозволяє суттєво збільшити швидкість виконання класифікації за рахунок проведення попереднього аналізу складу дескрипторів для бази еталонів.

Практичні рекомендації із проведеного дослідження полягають у результативному використанні методів попереднього аналізу даних у класифікаторах, які включають відбір підмножини опису за певними показниками..

Практична значущість роботи – досягнення значного пришвидшення часу, витраченого на процес класифікації за рахунок результативного відбору числа дескрипторів з найбільшими показниками інформативності. Це допоможе для подальшої інтеграції обговорюваних методів у системах КЗ.

Перспективи роботи можуть бути пов'язані з дослідженням розробленого методу на більшій вибірці даних та для зображень з високою кількістю ключових точок.

Результати роботи апробовано у вигляді тез доповіді під час XXVII Міжнародного молодіжного форуму «РАДІОЕЛЕКТРОНІКА І МОЛОДЬ У XXI СТОЛІТТІ» [30].

ПЕРЕЛІК ДЖЕРЕЛ ПОСИЛАННЯ

1. Гороховатський, В. О., & Творошенко, І. С. (2022). Аналіз багатовимірних даних за описом у формі множини компонент.
2. Гороховатський, В.А., Путятін, Е.П., & Столяров, В.С. (2017). Дослідження результативності структурних методів класифікації зображень із застосуванням кластерної моделі даних. *Радіоелектроніка, інформатика, управління*.
3. Верес, О. М., Кісь, Я. П., Кугівчак, В. А., & Рішняк, І. В. (2018). Вибір методів для пошуку однакових або схожих зображень. *Вісник Національного університету "Львівська політехніка". Серія: Інформаційні системи та мережі*, (887), 43-50.
4. Гороховатський, В. О., Пупченко, Д. В., & Солодченко, К. Г. (2018). Аналіз властивостей, характеристик та результатів застосування новітніх детекторів для визначення особливих точок зображення.
5. Linda, G. (2001). Shapiro george c. stockman. computer vision.
6. Calonder, M., Lepetit, V., Strecha, C., & Fua, P. (2010). Brief: Binary robust independent elementary features. In *Computer Vision–ECCV 2010: 11th European Conference on Computer Vision, Heraklion, Crete, Greece, September 5-11, 2010, Proceedings, Part IV 11* (pp. 778-792). Springer Berlin Heidelberg.
7. Rublee, E., Rabaud, V., Konolige, K., & Bradski, G. (2011, November). ORB: An efficient alternative to SIFT or SURF. In *2011 International conference on computer vision* (pp. 2564-2571). Ieee.
8. Гороховатський, В. О., & Гадецька, С. В. (2020). Статистичне оброблення та аналіз даних у структурних методах класифікації зображень.
9. Lowe, D. G. (2004). Distinctive image features from scale-invariant keypoints. *International journal of computer vision*, 60, 91-110.
10. Gadetska, S. V., & Gorokhovatskyi, V. O. (2018). Statistical measures for computation of the image relevance of visual objects in the structural image classification methods. *Telecommunications and Radio Engineering*, 77(12).

11. Tuytelaars, T., & Mikolajczyk, K. (2008). Local invariant feature detectors: a survey. *Foundations and trends® in computer graphics and vision*, 3(3), 177-280.

12. Гороховатський, В. О., Руденко, Д. О., & Сірик, Т. О. (2019). Дослідження системи ієрархічних ознак при блочному поданні опису у складі множини ключових точок зображення.

13. Introduction to SIFT (Scale Invariant Feature Transform). URL: <https://medium.com/data-breach/introduction-to-sift-scale-invariant-feature-transform-65d7f3a72d40> (дата звернення 14.04.2023).

14. Yakovleva, O., & Nikolaieva, K. (2020). Research of descriptor based image normalization and comparative analysis of SURF, SIFT, BRISK, ORB, KAZE, AKAZE descriptors. *Advanced Information Systems*, 4(4), 89-101.

15. Introduction to FAST (Features from Accelerated Segment Test). URL: <https://medium.com/data-breach/introduction-to-fast-features-from-accelerated-segment-test-4ed33dde6d65> (дата звернення 14.04.2023).

16. Introduction to BRIEF (Binary Robust Independent Elementary Features). URL: <https://medium.com/data-breach/introduction-to-brief-binary-robust-independent-elementary-features-436f4a31a0e6> (дата звернення 21.04.2023).

17. BRISK. URL: <https://cvexplained.wordpress.com/2020/07/28/10-10-9-brisk/> (дата звернення 22.04.2023).

18. Leutenegger, S., Chli, M., & Siegwart, R. Y. (2011, November). BRISK: Binary robust invariant scalable keypoints. In *2011 International conference on computer vision* (pp. 2548-2555). Ieee.

19. Гороховатський В., Передрій О., Творошенко І., Марков Т. (2023) Матриця відстаней для множини компонентів структурного опису як інструмент для створення класифікатора зображень, *Сучасні інформаційні системи*, 7(1), С. 5-13.

20. Гороховатський, В.А., & Путятін, Е.П (2008). Структурне розпізнавання зображень на основі моделей голосування ознак характерних точок. Реєстрація, зберігання і обробка даних.

21. Gorokhovatskyi V.A. (2018) Image Classification Methods in the Space of Descriptions in the Form of a Set of the Key Point Descriptors. *Telecommunications and Radio Engineering*, 77 (9), pp. 787-797.

22. Gorokhovatsky, V.O. and Gadetska, S.V. (2019) Determination of Relevance of Visual Object Images by Application of Statistical Analysis of Regarding Fragment Representation of their Descriptions, *Telecommunications and Radio Engineering*, 78 (3), pp. 211–220.

23. Коцовський, В. М. (2014). Теорія розпізнавання образів. Лекції.

24. Математичні принципи масштабно-інваріантних дескрипторів зображень. URL: <http://pzs.dstu.dp.ua/ComputerGraphics/d&d/5.html> / (дата звернення 26.04.2023).

25. K-Nearest Neighbor(KNN) Algorithm for Machine Learning. URL: <https://www.javatpoint.com/k-nearest-neighbor-algorithm-for-machine-learning/> (дата звернення 30.04.2023).

26. Daradkeh, Y. I., Tvoroshenko, I., Gorokhovatskyi, V., Latiff, L. A., & Ahmad, N. (2021). Development of effective methods for structural image recognition using the principles of data granulation and apparatus of fuzzy logic. *IEEE Access*, 9, 13417-13428.

27. Daradkeh Y.I., Gorokhovatskyi V., Tvoroshenko I., and Zeghid M. (2022) Tools for fast metric data search in structural methods for image classification, *IEEE Access*, 10, pp. 124738-124746.

28. Gorokhovatskyi V., Tvoroshenko I., Kobylin O., and Vlasenko N. (2023) Search for visual objects by request in the form of a cluster representation for the structural image description, *Advances in Electrical and Electronic Engineering*, 21(1), pp. 19-27.

29. Гороховатський В.О., Творошенко І.С., Чмутов Ю.В. (2022) Застосування систем ортогональних функцій для формування простору ознак у методах класифікації зображень, *Сучасні інформаційні системи*, 6(3), С. 5-12.

30. Gorokhovatskiy V.A., Zamula A.A. (2016) Employment of Intelligent Technologies in Multiparametric Control Systems. *Telecommunications and Radio Engineering*. Vol. 75, No 19, p. 1775–1785.

31. Gorokhovatskiy, V. A. (2016). Efficient Estimation of Visual Object Relevance during Recognition through their Vector Descriptions. *Telecommunications and Radio Engineering*, 75(14).

32. Gorokhovatskiy, V. A. (2011). Compression of descriptions in the structural image recognition. *Telecommunications and Radio Engineering*, 70(15).

33. Гороховатський В.О., Передрий Е.О. (2009) Кореляційні методи розпізнавання зображень шляхом голосування систем фрагментів. *Радіоелектроніка, інформатика, управління*, №1 (20), с.74–81.

34. Gorokhovatskiy, V., Stiahlyk, N., Tsarevska, V. (2021). Combination method of accelerated metric data search in image classification problems. *Advanced Information Systems*, 5 (3), pp. 5–12.

35. Гороховатський В.О., Гадецька С.В., Стяглик Н.І., Власенко Н.В. (2020) Класифікація зображень на підставі ансамблю статистичних розподілів за класами еталонів для компонентів структурного опису. *Радіоелектроніка, інформатика, управління*, №4 , с. 85–94.

36. Gorokhovatskiy V., Gadetska S., Ponomarenko R. (2020) Recognition of Visual Objects Based on Statistical Distributions for Blocks of Structural Description of Image. Proc. of the XV Int. Scientific Conference “Intellectual Systems of Decision Making and Problems of Computational Intelligence” (ISDMCI’2019), Ukraine, May 21–25, 2019, pp. 501-512.

37. Gadetska, S. V., Gorokhovatskiy, V. O., Stiahlyk, N. I., & Vlasenko, N. V. (2021). Statistical data analysis tools in image classification methods based on the description as a set of binary descriptors of key points. *Radio Electronics, Computer Science, Control*, (4), 58-68.

38. Gadetska S., Gorokhovatskiy V., Stiahlyk N., Vlasenko N. (2022) Aggregate Parametric Representation of Image Structural Description in Statistical

Classification Methods. In CEUR Workshop Proceedings: Computer Modeling and Intelligent Systems (CMIS-2022), 3137, pp. 68-77.

39. Gorokhovatskyi, O., Peredrii, O., Gorokhovatskyi, V., Vlasenko, N. (2023) Explanation of CNN Image Classifiers with Hiding Parts. In: J. Benois-Pineau, R. Bourqui, D. Petkovic, G. Quenot (eds), Explainable Deep Learning Artificial Intelligence, pp. 125-146, Academic Press, 346 p.

40. Gorokhovatskyi, V., Vlasenko, N. (2021). Редукція опису зображення у складі множини дескрипторів на основі метричного критерію інформативності. *Advanced Information Systems*, 5(4), pp. 10-16.

41. Гороховатський, В. О., Гадецька, С. В., & Пономаренко, Р. П. (2019). Статистичні розподіли та ланцюжкове подання даних при визначенні релевантності структурних описів візуальних об'єктів.

42. Гороховатський, В. О., Творошенко, І. С., & Сидоренко, Д. (2021). Класифікація зображень із використанням кластерного подання.

43. Ibrahim, D. Y., Gorokhovatskyi, V., Tvoroshenko, I., & Zeghid, M. (2022). Cluster representation of the structural description of images for effective classification.

44. Gorokhovatskyi O., Gorokhovatskyi V., Peredrii O. (2018) Analysis of Application of Cluster Descriptions in Space of Characteristic Image Features. *Data*, 3(4), 52.

45. Чмутов, Ю. В. (2023). Дослідження ортогональної трансформації описів зображень для формування класифікаційних ознак.

46. Шевляков, А. С. 2023 Моделювання класифікатора зображень на основі критерію унікальності ознак. 27-ий міжнародний молодіжний форум «РАДІОЕЛЕКТРОНІКА І МОЛОДЬ У ХХІ СТОЛІТТІ», т. 7, С. 20-21